

## การสั่นสะเทือนของรถไถเดินตาม

Vibration of Walking Tractor



นายกีรเกียรติ

อุนจะนำ

นายจักรกฤษณ์

ศรีอุคุณ

นายภาณุวัชร

จิตจักร

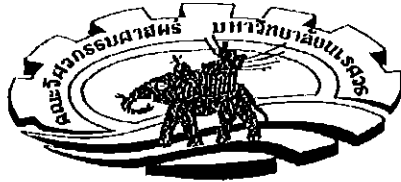
ห้องสนับสนุนคณวิศวกรรมศาสตร์
วันที่รับ...../...../.....
เลขทะเบียน.....
เลขเรียกหนังสือ.....
มหาวิทยาลัยนเรศวร 2552

ปริญญานิพนธ์นี้เป็นส่วนหนึ่งของการศึกษาตามหลักสูตรปริญญาวิศวกรรมศาสตรบัณฑิต

สาขาวิศวกรรมเครื่องกล ภาควิชาวิศวกรรมเครื่องกล

คณวิศวกรรมศาสตร์ มหาวิทยาลัยนเรศวร

ปีการศึกษา 2552



ใบรับรองโครงงาน

หัวข้อโครงการ : การสั่นสะเทือนของรถໄດ້ເຄີນຕາມ

## Vibration of Walking Tractor

ผู้ดำเนินโครงการ : นายกีรเกียรติ อุนจะนำ รหัสนิสิต 48363384  
นายจักรกฤษณ์ ศรีอุดม รหัสนิสิต 48363411  
นายภาณุวัชร จิตชัย รหัสนิสิต 48363800

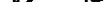
อาจารย์ที่ปรึกษาโครงการ : ดร.รัตนา การณบุญญาณนันท์

**ภาควิชา** : วิศวกรรมเครื่องกล

ปีการศึกษา : 2552

คณะวิศวกรรมศาสตร์ มหาวิทยาลัยนเรศวร อนุญาตให้โครงงานฉบับนี้เป็นส่วนหนึ่งของการศึกษาตามหลักสูตร วิศวกรรมศาสตรบัณฑิต สาขาวิศวกรรมเครื่องกล

## คณะกรรมการสอนโครงการ

 ประชานกรรมการ

## ( គ.រ៉តនា /ការុណ្យលូណានំ )

( รศ.ดร.มัธนี สงวนสิทธิ์ )

กรรมการ

( คร.กฤษยา วีรพันธุ์ )

หัวข้อโครงการ	การสั่นสะเทือนของรถไถเดินตาม		
ผู้กำหนดโครงการ	นายกีรเกียรติ อุณจะนำ	รหัสนิสิต	48363381
	นายจักรกฤษณ์ ศรีอุคุณ	รหัสนิสิต	48363411
	นายภาณุวชร จิตจาร	รหัสนิสิต	48363800
อาจารย์ที่ปรึกษา	ดร. รัตนา การณบุญญาณนันท์		
ภาควิชา	วิศวกรรมเครื่องกล		
ปีการศึกษา	2552		

---

### บทคัดย่อ

โครงการนี้มีวัตถุประสงค์เพื่อศึกษาและประเมินวิธีลดการสั่นสะเทือนของรถไถเดินตามเครื่องยนต์ Kubota RT120 (12 แรงม้า) โครงสร้างรุ่น NC 131-standard โดยทำการติดตั้งแผ่นยางรองที่มีความหนา 10 และ 20 มิลลิเมตรระหว่างห้องเพื่องกับชุดมือจับ และทดลองวิ่งรถไถเดินตามที่ใส่ล้อเหล็กและไม่มีอุปกรณ์ต่อพ่วงเป็นระยะทาง 20 เมตร บนพื้นดินแห้ง โดยใช้ความเร็ว 2.8 กิโลเมตรต่อชั่วโมง (เกียร์ 1) ที่ความเร็วรอบเครื่องยนต์ 2000 รอบต่อนาที ทำการวัดการสั่นสะเทือนที่เครื่องยนต์ ห้องเพื่องและมือจับ โดยใช้อุปกรณ์วัดความเร่งพบว่า มีการส่งผ่านการสั่นสะเทือนจากการทำงานของลูกสูบที่เครื่องยนต์และการเคลื่อนที่ของล้อ ไปสู่ห้องเพื่องและชุดมือจับ และเมื่อทำการปรับปรุงโดยการติดตั้งแผ่นยางพบร่วมกับแผ่นยางรองขนาด 20 มิลลิเมตร สามารถลดการสั่นสะเทือนที่มือจับในแนวแกน x และสามารถทำงานได้ 4 ชั่วโมง โดยไม่เกิดความเมื่อยล้า แต่ในแนวแกน y และ แนวแกน z ไม่สามารถลดการสั่นสะเทือนได้และสามารถทำงานได้ไม่เกิน 1 ชั่วโมง โดยไม่เกิดความเมื่อยล้า

<b>Project Title</b>	: Vibration of Walking Tractor		
<b>Name</b>	: Mr. Keerakiet Unchanum	ID	48363381
	: Mr. Jakkrit Sriudom	ID	48363411
	: Mr. Phanuwat Jitjark	ID	48363800
<b>Project Advisor</b>	: Dr. Rattana Karoonboonyanan		
<b>Department</b>	: Mechanical Engineering		
<b>Academic Year</b>	: 2009		

---

### Abstract

This project aims to study and find ways to evaluate the vibration isolation method of the walking tractor power by 12-hp RT120 Kubota engine on NC 131-standard chassis. Rubber sheets with the thickness of 10 or 20 millimeters were inserted between the gearbox and the handles before the operational testing on dry ground with the distance of 20 meters and the speed of 2.8 kilometers per hour (gear 1). The tractor was operated with steel cage wheels without other accessories. The engine was operated at 2000 rpm. Vibration was monitored at engine, gearbox and handle by accelerometer which measured the acceleration in three directions, x, y and z. The results showed that vibration was transferred from the engine and the wheels to the gearbox and handles. After installing the rubber isolator, the vibration in x-direction was reduced down to 4-hour fatigue-decreased proficiency (4-h fdp) limit. However the vibration in y-and z-axis were not reduced and still beyond the 1-hour decreased proficiency (1-h fdp) limit.

## กิตติกรรมประกาศ

โครงการฉบับนี้สำเร็จลงได้ด้วยคีเพระ ได้รับความช่วยเหลือในการดำเนินการให้คำแนะนำที่เป็นประโยชน์ในการทำโครงการจาก คร.รัตนा การุณยูญานันท์ ซึ่งเป็นอาจารย์ที่ปรึกษาโครงการให้คำปรึกษาแนะนำแก่ผู้ดำเนินโครงการตลอดมา ผู้ดำเนินโครงการขอกราบขอบพระคุณเป็นอย่างสูง

ขอขอบพระคุณช่างทุกท่านที่ได้ให้ความช่วยเหลือทางด้านอุปกรณ์ต่างๆ เทคนิคในการทำงานตลอดจนการสร้างและติดตั้งอุปกรณ์วัดความเร่งเป็นอย่างดี

ขอขอบคุณเพื่อนทุกท่านที่ช่วยเหลืองานด้านการทดลองภาคสนามจนโครงการประสบความสำเร็จเรียบร้อย

สุดท้ายนี้ ผู้ดำเนินโครงการขอกราบขอบพระคุณ บิรา มารดา และญาติพี่น้อง ที่เคยสนับสนุนและเป็นกำลังใจแก่ผู้ดำเนินโครงการอย่างสมมั่นตลอดมา

นายกฤษฎร์	อุนจะนำ
นางสาวกรกฤษณ์	ศรีอุคุณ
นายภาณุวัชร	จิตจักร



## สารบัญ

หน้า	
ก	ใบรับรองโครงการ
ข	บทคัดย่อ
ค	Abstract
ง	กิตติกรรมประกาศ
จ	สารบัญ
ช	สารบัญตาราง
ซ	สารบัญรูปภาพ

### บทที่ 1 บทนำ

1	1.1 ที่มาและความสำคัญของโครงการ
1	1.2 วัตถุประสงค์ของโครงการ
1	1.3 ขอบเขตของการดำเนินโครงการ
2	1.4 ขั้นตอนการดำเนินงาน
3	1.5 แผนการดำเนินงานตลอดโครงการ
4	1.6 ประโยชน์ที่คาดว่าจะได้รับ
4	1.7 งบประมาณที่ใช้

### บทที่ 2 หลักการและทฤษฎี

5	2.1 ส่วนประกอบของรถไถเดินตาม
10	2.2 การสั่นทางวิศวกรรม
12	2.3 การป้องกันการสั่นสะเทือน
14	2.4 อุปกรณ์ตรวจจับการสั่น
15	2.5 การวิเคราะห์สัญญาณ
17	2.6 การศึกษาและการวิเคราะห์การสั่นสะเทือนของรถไถเดินตาม
19	2.7 จีดจำกัดความเมื่อยล้า (Fatigue-decreased proficiency)
20	2.8 แนวทางในการลดการสั่นสะเทือน

<b>บทที่ 3 วิธีการดำเนินโครงการ</b>	
3.1 การวัดค่าการสั่นสะเทือนของรถໄດเดินตาม	21
3.2 การทดลองหาค่าการสั่นสะเทือนของรถໄດเดินตามหลังปรับปรุง	23
3.3 ขั้นตอนการวิเคราะห์ผลโดยใช้โปรแกรม DIAdem 10.2	25
<b>บทที่ 4 ผลกระทบและวิเคราะห์ผล</b>	
4.1 ลักษณะโดยทั่วไปในการทดลอง	31
4.2 ลักษณะการสั่นสะเทือนของรถໄດเดินตามก่อนการปรับปรุง	31
4.3 ลักษณะการสั่นสะเทือนของรถໄດเดินตามที่มือจับหลังปรับปรุง	37
<b>บทที่ 5 สรุปผล</b>	
5.1 สรุปผลการทดลอง	43
5.2 ปัญหาในการทำโครงการ	43
5.3 ข้อเสนอแนะและแนวทางพัฒนา	43
<b>เอกสารอ้างอิง</b>	44
<b>ภาคผนวก</b>	
ภาคผนวก ก	46
ภาคผนวก ข	48
ภาคผนวก ก	50
<b>ประวัติผู้ทำโครงการ</b>	53

## สารบัญตาราง

	หน้า
ตารางที่ 1.1 ขั้นตอนและระยะเวลาในการปฏิบัติงาน	3
ตารางที่ 3.1 Weight factor	29
ตารางที่ 4.1 แสดงความสามารถในการทำงานของแต่ละแนวแกนทั้งก่อนและหลังปรับปรุง	41



## สารบัญรูปภาพ

	หน้า
รูปที่ 2.1 ส่วนประกอบของรถไถเดินตาม	5
รูปที่ 2.2 แสดงอุปกรณ์และเครื่องมือที่สามารถใช้ร่วมกับรถไถเดินตาม	7
รูปที่ 2.3 เครื่องยนต์ Kubota RT120 ที่ใช้ในการทดลอง	8
รูปที่ 2.4 รถไถเดินตามถูกใบด้า โครงรถรุ่น NC 131 Standard	9
รูปที่ 2.5 เครื่อง Vibrometer	14
รูปที่ 2.6 เครื่อง accelerometer	15
รูปที่ 2.7 เครื่อง velometer	15
รูปที่ 2.8 สัญญาณในโหมดเวลาและโหมดความถี่	16
รูปที่ 2.9 รูปชุดมือจับจากโปรแกรม Finite element analysis	18
รูปที่ 2.10 แสดงความสัมพันธ์ระหว่างความเร่งในแนวตั้ง ( $a_z$ ) กับความถี่ที่มีผลต่อช่วงโน้มในการทำงานของมุยย์	19
รูปที่ 2.11 แสดงความสัมพันธ์ระหว่างความเร่งในแนวระดับ ( $a_x$ และ $a_y$ ) กับความถี่ที่มีผลต่อช่วงโน้มในการทำงานของมุยย์	19
รูปที่ 2.12 แสดงจุดที่จะทำการติดตั้งแผ่นยางรองระหว่างห้องเพ้อองกับชุดมือจับและคันบังคับ	20
รูปที่ 3.1 ตำแหน่งติดตั้งอุปกรณ์วัดความเร่งที่หน้าห้องเครื่องยนต์	22
รูปที่ 3.2 ตำแหน่งติดตั้งอุปกรณ์วัดความเร่งที่ห้องเพ้ออง	22
รูปที่ 3.3 ตำแหน่งติดตั้งอุปกรณ์วัดความเร่งที่มือจับ	22
รูปที่ 3.4 ติดแผ่นยางรอง หนา 10 mm. ระหว่างห้องเก็บรักบัญชุดมือจับ	23
รูปที่ 3.5 เปลี่บานความเหล็กเพื่อให้ระบบมือจับเหมาะสมสำหรับใส่แผ่นยางรอง	24
รูปที่ 3.6 ติดแผ่นยางรอง หนา 20 mm. ระหว่างห้องเก็บรักบัญชุดมือจับ	24
รูปที่ 3.7 แสดงลักษณะของข้อมูลที่นำมาเปิด โดยใช้โปรแกรม DIAdem	25
รูปที่ 3.8 แสดงช่วงข้อมูลที่ได้เลือกไว้	25
รูปที่ 3.9 แสดงการเลือกตัวกรองสัญญาณ	26
รูปที่ 3.10 แสดงการใช้คำสั่งชุดคำนวณเพื่อนำข้อมูลที่ได้มาอยู่ในรูปของความเร่ง	26
รูปที่ 3.11 แสดงถึงการเลือกแสดงผลของข้อมูลให้อยู่ในรูปของ FFT	27
รูปที่ 3.12 แสดงถึงรูปกราฟที่ได้จาก FFT	27
รูปที่ 3.13 แสดงถึงการเลือกแสดงผลของข้อมูลให้อยู่ในรูปของ FFT โดยได้เลือกให้แสดงผลให้อยู่ในรูปของ one-third octave band frequency	28
รูปที่ 3.14 แสดงถึงรูปกราฟที่เพิ่มขึ้นมาหลังจากการทำ FFT ในรูปแบบของ Third Octave	28

รูปที่ 3.15 แสดงข้อมูลต่างๆออกมาในรูปของตาราง	29
รูปที่ 4.1 ลักษณะการสั่นสะเทือนที่ดำเนินการในแกน x ขณะรถໄດคืนตามหยุดนิ่ง	31
รูปที่ 4.2 ลักษณะการสั่นสะเทือนที่ดำเนินการในแกน y ขณะรถໄไดคืนตามหยุดนิ่ง	32
รูปที่ 4.3 ลักษณะการสั่นสะเทือนที่ดำเนินการในแกน z ขณะรถໄไดคืนตามหยุดนิ่ง	32
รูปที่ 4.4 ลักษณะการสั่นสะเทือนที่ดำเนินการในแกน x ขณะรถໄไดคืนตามเคลื่อนที่	33
รูปที่ 4.5 ลักษณะการสั่นสะเทือนที่ดำเนินการในแกน y ขณะรถໄไดคืนตามเคลื่อนที่	34
รูปที่ 4.6 ลักษณะการสั่นสะเทือนที่ดำเนินการในแกน z ขณะรถໄไดคืนตามเคลื่อนที่	34
รูปที่ 4.7 ลักษณะการสั่นสะเทือนของรถໄไดคืนตามขยะหยุดนิ่งและเคลื่อนที่ที่ดำเนินการ มือจับในแนวแกน x	35
รูปที่ 4.8 ลักษณะการสั่นสะเทือนของรถໄไดคืนตามขยะหยุดนิ่งและเคลื่อนที่ที่ดำเนินการ มือจับในแนวแกน y	36
รูปที่ 4.9 ลักษณะการสั่นสะเทือนของรถໄไดคืนตามขยะหยุดนิ่งและเคลื่อนที่ที่ดำเนินการ มือจับในแนวแกน z	36
รูปที่ 4.10 ลักษณะการสั่นสะเทือนก่อนปรับปรุงและหลังปรับปรุงที่ดำเนินการมือจับ ในแกน x ในขณะรถໄไดคืนตามหยุดนิ่ง	37
รูปที่ 4.11 ลักษณะการสั่นสะเทือนก่อนปรับปรุงและหลังปรับปรุงที่ดำเนินการมือจับ ในแกน y ในขณะรถໄไดคืนตามหยุดนิ่ง	38
รูปที่ 4.12 ลักษณะการสั่นสะเทือนก่อนปรับปรุงและหลังปรับปรุงที่ดำเนินการมือจับ ในแกน z ในขณะรถໄไดคืนตามหยุดนิ่ง	38
รูปที่ 4.13 ลักษณะการสั่นสะเทือนก่อนปรับปรุงและหลังปรับปรุงที่ดำเนินการมือจับ ในแกน x ขณะรถໄไดคืนตามเคลื่อนที่ $2.8 \text{ km/h}$	39
รูปที่ 4.14 ลักษณะการสั่นสะเทือนก่อนปรับปรุงและหลังปรับปรุงที่ดำเนินการมือจับ ในแกน y ขณะรถໄไดคืนตามเคลื่อนที่ $2.8 \text{ km/h}$	40
รูปที่ 4.15 ลักษณะการสั่นสะเทือนก่อนปรับปรุงและหลังปรับปรุงที่ดำเนินการมือจับ ในแกน z ขณะรถໄไดคืนตามเคลื่อนที่ $2.8 \text{ km/h}$	40

## บทที่ 1

### บทนำ

#### 1.1 ที่มาและความสำคัญของงาน

รถได้เดินตามเป็นเครื่องจักรกลเกนต์ที่ใช้งานกันอย่างแพร่หลายในประเทศไทย ซึ่งเกณฑ์รถส่วนใหญ่เป็นเกณฑ์รถรายย่อย ทั้งนี้เนื่องจากรถได้เดินตามมีขนาดเล็กทำให้มีความคล่องตัวในการทำงานในไร่นาขนาดเล็กและกลไกการทำงานไม่ซับซ้อนสามารถที่จะทำการนำร่องรักษาได้โดยช่างเทคนิคห้องถัง อีกทั้งราคาของรถได้เดินตามมีราคาถูกมีอิฐปูนเทียบกับต้นกำลังชนิดอื่น ในปี 2543 มีจำนวนรถได้เดินตามทั่วประเทศจำนวน 3.279 ล้านคัน (สำนักงานเศรษฐกิจการเกษตร, 2544)

อย่างไรก็ตาม รถได้เดินตามก็มีข้อด้อยคือ ผู้ใช้ต้องเดินตามในเวลาใช้งาน อาจทำให้ได้รับบาดเจ็บที่เท้า สำหรับผู้ที่ไม่ชำนาญในการใช้อาจทำให้ได้รับอันตรายตลอดเวลา นอกจากนี้ยังมีปัญหาการสั่นสะเทือนที่หลักเดี่ยงไม่ได้ ถือการสั่นสะเทือนของเครื่องยนต์ที่ใช้ และเกิดจากล้อขณะเคลื่อนที่ไปบนถนนซึ่งจะทำให้เกิดอันตราย (Kanyakam และ Bureerat, 2007)

Goglia และ คณะ (2006) ทำการทดสอบวัดการสั่นสะเทือนที่ส่งถ่ายลงมือผู้ที่ใช้รถได้เดินตามพบว่าการสั่นสะเทือน สามารถส่งผลให้เกิดการเปลี่ยนแปลงของเส้นเลือดระบบประสาท และการเจ็บป่วยของกล้ามเนื้อบริเวณมือและแขน หรือเรียกว่ากลุ่มอาการนี้ว่ากลุ่มอาการผิดปกติของมือและแขน อันเนื่องมาจากการสั่นสะเทือน (hand-arm vibration syndrome)

จากปัญหาดังกล่าว จึงมีแนวคิดที่จะศึกษาลักษณะการสั่นสะเทือนของรถได้เดินตามและหาวิธีการลดการสั่นสะเทือนโดยใช้แผ่นยางติดตั้งเข้าไประหว่างห้องเพื่องกับชุดมือขับ เพื่อลดการถ่ายทอดการสั่นสะเทือนจากเครื่องยนต์ ล้อ และห้องเพื่องสู่มือคนขับ

#### 1.2 วัตถุประสงค์ของโครงการ

- 1) เพื่อศึกษาและวิเคราะห์ลักษณะการสั่นสะเทือนของรถได้เดินตาม
- 2) เพื่อหาวิธีการลดการสั่นสะเทือนของรถได้เดินตามที่มีผลต่อสุขภาพของเกณฑ์รถ

#### 1.3 ขอบเขตของการดำเนินโครงการ

ศึกษา และวิเคราะห์ลักษณะการสั่นสะเทือนของรถได้เดินตามคุณภาพรถรุ่น NC131 Standard เครื่องยนต์ RT120 โดยทำการทดลองกับรถได้เดินตามที่ใส่ล้อเหล็ก ทดลองกับสภาพพื้นดินแห้งและที่ระดับความเร็วเกียร์ 1 เก่านี้ และปรับปรุงแก้ไขรถได้เดินตามโดยใช้แผ่นยางรองหนา 10

และ 20 มิลลิเมตร ติดตั้งระหว่างห้องเพื่องกับชุดมือจับและคันบังคับ เพื่อลดการส่งผ่านการสั่นสะเทือนไปยังคนขับ

#### 1.4 ขั้นตอนการดำเนินงาน

- 1) ศึกษาข้อมูลเกี่ยวกับรถ ไอลเดนตามและอุปกรณ์วัดการสั่นสะเทือน (Accelerometer)
- 2) ศึกษาและทดลองวัดการสั่นสะเทือนของรถ ไอลเดนตามคู่ใบตัวโครงรถรุ่น NC131 Standard เครื่องยนต์ RT120 โดยทำการทดลองกับล้อเหล็กเท่านั้น และจากการทดลองหาความเร็วของรถ ไอลเดนตามที่เกียร์ 1 และ เกียร์ 2 พนว่ามีความเร็ว 2.8 และ 6.0 กิโลเมตรต่อชั่วโมง ตามลำดับ ดังนี้ ในการทดลองนี้จึงเลือกทดลองเฉพาะเกียร์ 1 เท่านั้น ซึ่งเป็นความเร็วที่เหมาะสมกับการใช้งานในแปลงตามปกติที่ต้องมีคนเดินตาม

เงื่อนไขในการทดลองมีดังนี้

- 2.1) วัดการสั่นสะเทือนใน 3 แนวแกน
  - ตามแนวยาวของรถ (x)
  - ตามแนววางของรถ (y)
  - ตามแนวขึ้นของรถ (z)
- 2.2) ตำแหน่งที่ทำการวัด
  - ด้านหน้าเครื่องยนต์
  - บนห้องเพื่อง
  - มือจับ
  - คันแหง
- 2.3) สภาพของพื้นผิวที่ทำการทดลอง
- 2.4) ใช้แผ่นยางที่มีความหนาต่างกัน 2 ขนาด
  - 10 มิลลิเมตร
  - 20 มิลลิเมตร

โดยทำการทดลอง 3 ชั้้น

- 3) วิเคราะห์การสั่นสะเทือนที่วัดได้เพื่อหาขนาดของการสั่นสะเทือน ความถี่ และ เปรียบเทียบ กับมาตรฐาน ISO 2631/1(1985) เพื่อพิจารณาหาขีดจำกัดความเมื่อยล้า ( Fatigue – decreased proficiency boundary , fdp )

- 4) ศึกษาหารือการลดการสั่นสะเทือนที่จะส่งผ่านไปยังผู้ใช้งาน โดยใช้แผ่นยางรองระหว่างห้องเพื่องกับชุดมือจับ 2 ขนาด คือ แผ่นยางรองหนา 10 และ 20 มิลลิเมตร ทดลองและเปรียบเทียบการสั่นสะเทือนระหว่างก่อนปรับปรุงและหลังปรับปรุง

- 5) วิเคราะห์ผล สรุป และจัดทำรายงาน

### 1.5 วิธีการดำเนินการ

ตารางที่ 1.1 งบประมาณและระยะเวลาในการปฏิบัติงาน (Gantt chart)

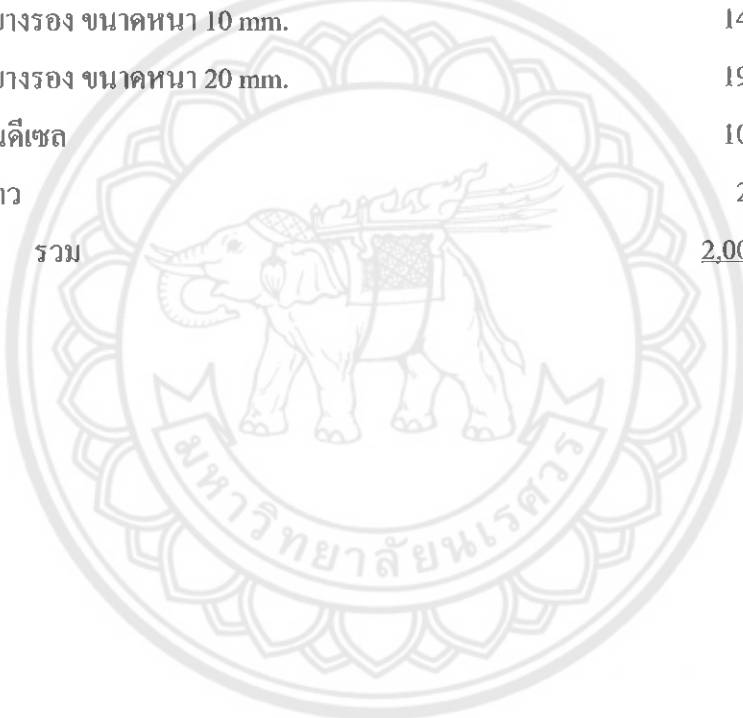
การดำเนินงาน		พ.ศ. 2551		พ.ศ. 2552	
		บ.ย.	ก.ค.	ส.ค.	ก.ย.
1.ศึกษาดูทิศทางและการตั้งตระหง่าน					
2.ศึกษาเครื่องมือวัดและโปรแกรมแม่คองผด					
3.ทดสอบการใช้เครื่องมือวัดกับรถไถเดินตาม					
4.วิเคราะห์ข้อมูลที่วัดมาได้					
5.ศึกษาออกแบบและทำวีร์กการติดการตั้งตระหง่าน					
6.ติดตั้งและทดสอบการตั้งตระหง่านและทำการทดสอบ					
7.วิเคราะห์ผล					
8.สรุปผู้ดูแลและปรับปรุงรายงาน					

## 1.6 ประโยชน์ที่คาดว่าจะได้รับ

- 1) ทราบลักษณะการสั่นสะเทือนและแหล่งกำเนิดการสั่นสะเทือนของรถໄດ້ເດືອນຕາມໄດ້
- 2) สามารถลดการสั่นสะเทือนของรถໄດ້ເດືອນຕາມໄດ້
- 3) เพื่อเพิ่มช້ວໂມງการทำงานของເກຍຕຽກໄດ້ມາກຈິນ ໂດຍປະຈາກອາກເມື່ອຍດ້າທີ່ເກີດຈາກ  
ກາຮັດຂອງຮູບໄດ້ເດືອນຕາມ

## 1.7 ຈບປະມານທີ່ໃຊ້

ຄູກບາຄກໍສແຕນເລສຫາດ $3 \times 3 \times 3 \text{ cm}^3$	ຈຳນວນ 3 ສູກ	1,500	ບາທ
ນຶອຕເສັ້ນຜ່ານຫຼຸນບໍລາງ ບ່ານາດ 3 mm.	ຈຳນວນ 9 ຕັ້ງ	50	ບາທ
ແຜ່ນຍາງຮອງ ບ່ານາດໜານ 10 mm.		140	ບາທ
ແຜ່ນຍາງຮອງ ບ່ານາດໜານ 20 mm.		190	ບາທ
ນໍ້າມັນຕື່ອດ		100	ບາທ
ປູນຂາວ		20	ບາທ
รวม		<u>2,000</u>	ບາທ



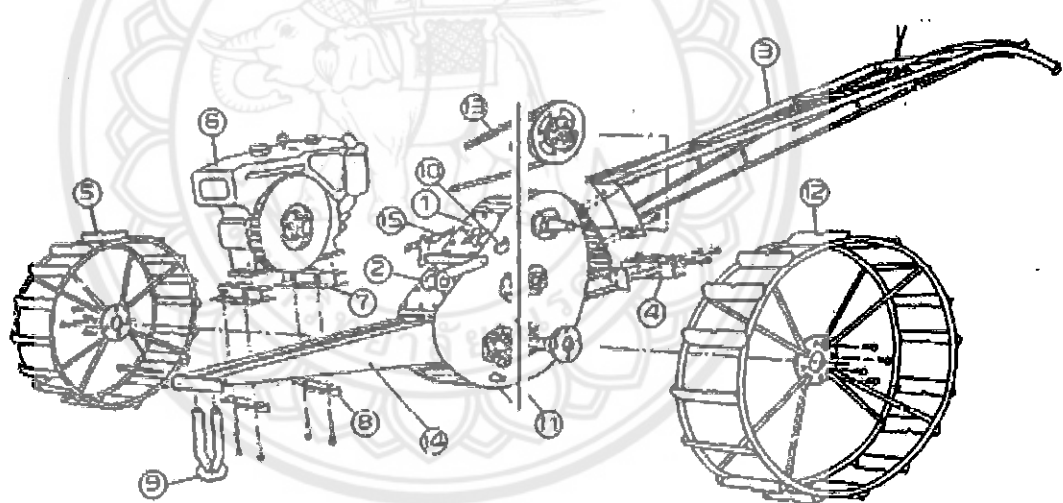
## บทที่ 2

### หลักการและทฤษฎี

ในบทนี้จะกล่าวถึงส่วนประกอบของรถไถเดินตาม ข้อมูลทางเทคนิคของเครื่องยนต์ Kubota RT120 การสั่นทางวิศวกรรม การป้องกันการสั่นสะเทือน แนวทางการลดการสั่นสะเทือนในรถไถเดิน ตามและข้อจำกัดความเมื่อยล้า โดยมีรายละเอียดดังนี้

#### 2.1 ส่วนประกอบของรถไถเดินตาม

ส่วนประกอบของรถไถเดินตาม (รูปที่ 2.1) ส่วนใหญ่จะมีรูปร่างลักษณะคล้ายคลึงกัน ต่างกันแค่เพียงขนาดซึ่งเปลี่ยนแปลงไปตามบริบทผู้ผลิต และความนิยมของเกษตรกรในท้องถิ่น



รูปที่ 2.1 ส่วนประกอบของรถไถเดินตาม (ปัญญาติ, 2531)

1. ห้องเผิง
2. ชุดลูกเตะสายพาน
3. ชุดมือจับและคันบังคับ
4. ชุดหัวต่อหากอุปกรณ์
5. ล้อเหล็กขวา
6. เครื่องยนต์คีเซล
7. แท่นเครื่องยนต์
8. เหล็กประกันชีด
9. ขาตั้งหน้า
10. รูเดินนำมัน
11. รูถ่ายนำมัน
12. ล้อเหล็กซ้าย
13. สายพาน
14. โครงแบบยึดเครื่อง
15. ก้านชักสายพาน

รถໄຄเดินตามมีส่วนประกอบที่สำคัญดังต่อไปนี้

**1) โครงແນຍືດເກຣີອງ (ຮູບທີ 2.1 ມາຍເລຂ 14)**

โครงແນຍືດເກຣີອງເປັນສ່ວນເຊື່ອນຕິດກັບຫ້ອງເຟຝອງ ແລະ ເປັນທີ່ວາງຕໍາແໜ່ງຂອງເກຣີອງຍົນຕໍ່ ໂດຍນີ້ແກ່ນເກຣີອງຮອງຮັນອຶກຂັ້ນນີ້ ເກຣີອງຍົນຕໍ່ທີ່ຕິດຕັ້ງອູ້ບຸນແກ່ນເກຣີອງ ສາມາຮັດເລື່ອນໄປມາໄດ້ ເນື່ອຄລາຍນີ້ອັດທີ່ຢືດ

**2) ເກຣີອງຍົນຕໍ່ (ຮູບທີ 2.1 ມາຍເລຂ 6)**

ເກຣີອງຍົນຕໍ່ໃຫຍ່ເປັນຕົ້ນກຳລັງໃນການຂັບເຄລື່ອນຮັດໄຄเดີນຕາມສ່ວນໃຫຍ່ຕິດເກຣີອງຍົນຕໍ່ເບັນຈິນທີ່ມີຂາດ 5-8 ແຮງນ້າ ອີ່ວເກຣີອງຍົນຕໍ່ເຊີລ໌ທີ່ມີຂາດ 8-12 ແຮງນ້າ ເກຣີອງຍົນຕໍ່ເຊີລ໌ເປັນທີ່ນີ້ມີໃໝ່ນຳກວ່າພະເກຣີອງຍົນຕໍ່ເຊີລ໌ມີກວາມແໜ່ງແຮງການທານຄ່ອງການໃໝ່ຈານໜັກ ນອກຈາກນີ້ຍັງໄໝແຮງນ້າສູງທີ່ຮອນຕໍ່ທຳໄໝເຂົ້າຕ່າງປະເທດຂອງເກີບຮ່ວມມືຂາດຂອງຫ້ອງເຟຝອງລົດລົງ ສໍາຫັນເກຣີອງຍົນຕໍ່ທີ່ວາງອູ້ບຸນ ໂກງແນຍືດເກຣີອງນີ້ສໍາາລັບມີກວາມຕໍ່ເລື່ອນໄປມາໄດ້ຕາມແນວເພື່ອກວາມສະຄວາກໃນການປັບປຸງຄວາມຕິດຂອງສາຍພານທີ່ສ່ວນກຳລັງຈາກເກຣີອງຍົນຕໍ່ໄປຢັງຫ້ອງເຟຝອງເອົກດ້ວຍ

**3) ຫ້ອງເຟຝອງ (ຮູບທີ 2.1 ມາຍເລຂ 1)**

ຫ້ອງເຟຝອງ ທ່ານ້າທີ່ທັດກຳລັງທີ່ສ່ວນມາຈາກເກຣີອງຍົນຕໍ່ອອກໄປໜຸນສ້ອໂດຍອາຫັນເຟຝອງແລະ ໂ່ວງ ອີ່ວເກຣີເຟຝອງເປົ້າເຖິງເຕີບ່າງ ແຕ່ຮະບນເຟຝອງແລະ ໂ່ວງໃນປັດຈຸບັນເຮັ່ນໄມ້ນີ້ມີໃໝ່ນຳກວ່າໄໝໄປນານ ຈະໃໝ່ຈະຫຼັບຜົນຕໍ່ກ່ຽວຂ້ອງເກຣີອງຍົນຕໍ່ໄປຢັງຫ້ອງເຟຝອງນີ້ມີຂາດໄຫຍ່ເກົ່າກະທະ ແຕ່ຂັດຕື່ອຮາຄາຖຸກກວ່າ

**4) ສາຍພານ (ຮູບທີ 2.1 ມາຍເລຂ 13)**

ສາຍພານ ເປັນສ່ວນປະກອບທີ່ສໍາຄັນໃນການສ່ວນກຳລັງອອກຈາກເກຣີອງຍົນຕໍ່ໄປຢັງຫ້ອງເຟຝອງຜ່ານມູ່ເລ່ດ້ວຍມີລູກທະສາຍພານເປັນຕົວທີ່ທຳໄໝສາຍພານຕິດຫຼືອໝ່ອນ ໂດຍປົກຕິສາຍພານທີ່ໃໝ່ນັກຈະເປັນຄູ່ ເພື່ອດັດກາລື່ນທີ່ອາຈະເກີດບັນຫາວ່າສາຍພານກັນມູ່ເລ່ດ້ວຍນັ້ນອາຈະເປັນແນວເຕາ ຜົ່ງທຳໄໝສາມາຮັດປັບປຸງອັດຕະກອບຮ່ວມມືເກຣີອງຍົນຕໍ່ແລະຫ້ອງເຟຝອງໄດ້ 2 ຂາດ ຄື່ອ ທຄຣອບຫ້າ ສໍາຫັນໄດ້ ແລະທຄຣອບເຮົວສໍາຫັນການບັນສ່ວນຫຼືເກລື່ອນຍ້າຍ

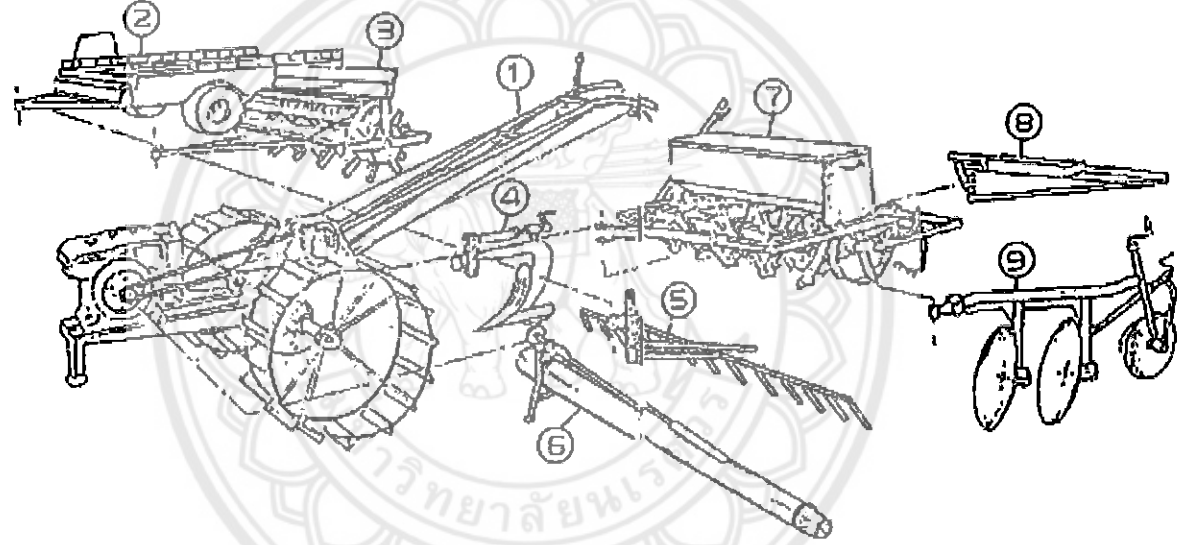
**5) ສ້ອ (ຮູບທີ 2.1 ມາຍເລຂ 5 ແລະ 12)**

ສ້ອຂອງຮັດໄຄเดີນຕາມ ເປັນສ້ອທີ່ທຳດ້ວຍເຫັນມີແຜ່ນກົບຕິດອູ້ໄດ້ສ້ອ ທຳໄໝມີໜ້ອອົກຍ່າງໜີ້ວ່າຕືນເປັດ ແຜ່ນກົບຕິດອູ້ໄດ້ສ້ອທີ່ທຳຫ້າທີ່ຕະກຸບຕິນໄມ້ໄໝໄໝລື່ນຂະໜາດທຳການ ນອກຈາກນີ້ຍັງຈ່າຍພຸ່ງໄນ້ໄໝຮັດໄຄຈົນໃນຂະໜາດທີ່ສ່ວນກຳລັງໃຊ້ການໃນສາກພົມແລວ ສ້ອເຫັນມີໜ້ອສໍາຫັນທຳການໃນນາ ດ້າເປັນການໃນໄວ່ ຮັດຈະ

กระเทือนมาก ทำให้ผู้ใช้หนีอย่างด่วนนั้น ถ้าจะใช้งานในไร่หรือถนนก็ควรจะใช้ล้อยางหรือไส่วงเหล็ก กลมบนแผ่นครีบของวงล้อ

#### 6) ชุดมือจับและคันบังคับ (รูปที่ 2.1 หมายเลข 3)

ชุดมือจับและคันบังคับที่สำคัญของรถ ได้เดินตาม คือ มือจับที่ใช้สำหรับบังคับทิศทาง ซึ่งติดอยู่ ปลายโครงแขนที่ต่ออุกมาจากหลังห้องเพื่อง โครงแขนนี้มักจะฉีกหักเสียหายก่อนส่วนอื่น โดยเฉพาะ รถ ได้เดินตามประเภทหลักเดียว ซึ่งต้องใช้แรงหนี่ายหอนขยะเดียวสูง เพราะฉะนั้น โครงแขนนี้จึงยาว กว่าประเภทอื่น ซึ่งเป็นผลทำให้การนำໄไปใช้งานในแปลงนาดเล็กไม่สะดวก ถ้าเป็นรถ ได้ประเภทนี้ แล้วก็จะมีสายและถ่านบีบเลี้ยวอยู่ที่มือจับ ถ้าเป็นรถ ได้ประเภทที่นี่เก็บรักษาไว้คันเก็บรักพื้นที่น้ำ

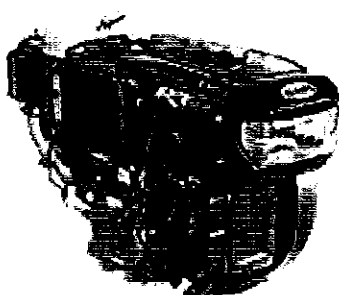


รูปที่ 2.2 แสดงอุปกรณ์และเครื่องมือที่สามารถใช้ร่วมกับรถ ได้เดินตาม (บัญญัติ, 2531)

1. ตัวรถ ได้
2. สาลี่บรรทุก
3. ลูกทุบตีเทือก
4. ได้หัวหมุน
5. คราด
6. ท่อพญานาคหรือระหัดเหพฤทธิ์
7. เครื่องหมายคอมเมล็ด
8. เครื่องปรับระดับดิน
9. ไดจาน

### 2.1.1 ข้อมูลทางเทคนิคของเครื่องยนต์รุ่น Kubota RT120

รุ่น	RT120
แบบเครื่องยนต์	ดีเซล 4 จังหวะ 1 สูบบน ระบบความร้อนด้วยน้ำ
แบบเผาไหม้	มีห้องเผาไหม้ช่วย (Swirl Chamber)
ความกว้างระบบอกรถูบช่วงชัก	94 x 90 mm.
ปริมาตรระบบอกรถูบ	624 cc.
กำลังแรงม้าสูงสุด	12 / 2400 hp./rpm (8.8 / 2400 kw./rpm)
กำลังแรงม้าต่อเนื่อง	10.5 / 2400 hp./rpm (7.72 / 2400 kw./rpm)
อัตราส่วนแรงอัด	21 : 1
แรงบิดสูงสุด	4.3 kg-m./1600 rpm.
การสิ้นเปลืองน้ำมันเชื้อเพลิง	210 g-hp/hr
ทิศทางการหมุนของข้อเหวี่ยง	ตามเข็มนาฬิกา เมื่อมองจากด้านมือหนุน
ระบบหล่อลื่น	ใช้แรงปั๊มเข้าระบบด้วย trochoid pump
ชนิดน้ำมันหล่อลื่น	SAE # 40 หรือ API #CC
ความจุน้ำมันหล่อลื่น	2.8 litre
ความจุของน้ำระบายน้ำความร้อน	แบบหม้อน้ำรังผึ้ง ขนาด 2.1 litre
ระบบสตาร์ท	มือหนุน
ระบบไฟแสงสว่าง	12 V 45 W
ความจุถังน้ำมันเชื้อเพลิง	11 litre
ขนาดเครื่องยนต์ (กxยxส)	n/a
น้ำหนักสุทธิของเครื่องยนต์	110 Kg.



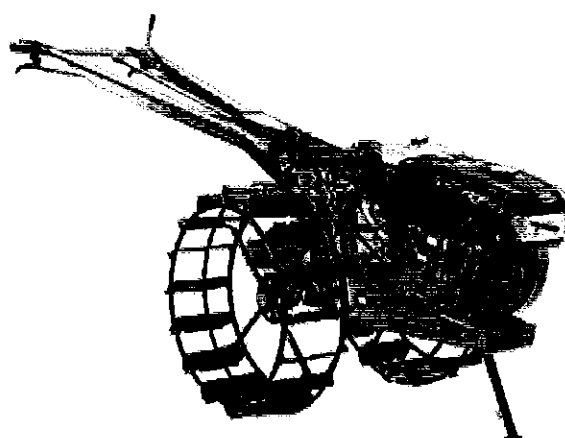
**KUBOTA RT**

รูปที่ 2.3 เครื่องยนต์ Kubota RT120 ที่ใช้ในการทดลอง

### 2.1.2 ข้อมูลทางเทคนิคของโครงรถรุ่น NC 131 Standard

#### สัดส่วน(ติดตั้งล้อเหล็ก)

ความกว้าง (ต่ำสุด/สูงสุด)	1050 / 1200 มม.
ความยาว	2960 มม.
ความสูง	1220 มม.
มุ่ลเดี่ยวเครื่อง	140 มม. (5.5 นิ้ว)
มุ่ลเดี่ยวติดกับโครง	180 มม. (7 นิ้ว)
เส้นผ่านศูนย์กลางของล้อเหล็ก	800 มม.
ขนาดฐานล้อ	26 มม.
สายพานรถติดกับโครง	1981 มม. (78 นิ้ว)
ระบบเบรก	แบบครึ่มเบรค
ระบบคลัทช์	แบบครัฟช์แห้งหลาຍແຜ່ນ
น้ำมันเกียร์	ເອສ ເລ ອີ (SAE) ເມອ້ວ 90
ความจุของน้ำมันเกียร์	5.5 - 6 ດືຕຣ
ความเร็วสูงสุด	33.5 กม. / ຊມ.
อัตราทดรอบเกียร์	44 : 1
(ระหว่างมุ่ลเดี่ยวติดกับโครงกับล้อ)	23 : 1
น้ำหนักสุทธิของรถติดกับโครง	8 : 1
ขนาดของเครื่องยนต์ตันกำลัง	56 : 1
น้ำหนักสุทธิของรถติดกับโครง	210 กก.
ขนาดของเครื่องยนต์ตันกำลัง	7 - 11.5 ແຮງນ້າ



รูปที่ 2.4 รถติดกับโครงรถรุ่น NC 131 Standard

## 2.2 การสั่นทางวิศวกรรม

การสั่นของวัตถุต่างๆ เป็นสิ่งหนึ่งที่เกิดขึ้นมาพร้อมกับการถือกำเนิดของโลกนี้ การสั่นสะเทือนของวัตถุต่างๆ ที่เกิดขึ้นมีทั้งที่ก่อให้เกิดประโยชน์และเป็นที่ต้องการ เช่นการสั่นของเส้นเสียงของมนุษย์และสัตว์สำหรับใช้ในการติดต่อ หรือการสั่นของเครื่องคนตระประภเครื่องสายหรือกลองเป็นต้น ขณะเดียวกันจะมีการสั่นบางอย่างที่ทำให้เกิดโทษและเป็นที่ไม่ต้องการ เช่นการสั่นของเครื่องจักร หรือการสั่นอย่างรุนแรงเนื่องจากแผ่นดินไหว ซึ่งอาจทำให้เกิดการเสียหายได้

การศึกษาเรื่องการสั่นทางวิศวกรรม เป็นการศึกษาเพื่อให้วิศวกรมีความเข้าใจถึงการสั่นที่เกิดขึ้นในส่วนต่างๆ ของโครงสร้างหรือของเครื่องจักรว่ามีคุณลักษณะเป็นอย่างไร วิธีการหลักเดียว หรือป้องกันการสั่นเพื่อป้องกันไม่ให้เกิดการเสียหายว่ามีวิธีการอย่างไรบ้าง รวมถึงการวัดและการควบคุมการสั่นที่อาจเกิดขึ้นในชิ้นส่วนต่างๆ ของโครงสร้างหรือเครื่องจักรด้วย

การแบ่งประเภทของการสั่นสามารถแบ่งออกได้หลายประเภท ดังนี้

### 2.2.1 การสั่นแบบอิสระหรือการสั่นแบบบังคับ

1) การสั่นแบบอิสระ (Free vibration) หมายถึงการสั่นของระบบในลักษณะที่หลังจากมีการรบกวนระบบที่หยุดนิ่งอยู่ที่จุดสมดุลครั้งแรกเพื่อให้เกิดการสั่นขึ้นแล้ว การสั่นนั้นดำเนินต่อไปโดยไม่มีแรงจากภายนอกมากระทำกับระบบอีกเลย การรบกวนระบบอาจจะเป็นการทำให้เกิดการขัดเบื้องต้นหรือทำให้เกิดความเร็วเริ่มต้นหรือทั้งสองแบบรวมกันก็ได้

2) การสั่นแบบบังคับ (Forced vibration) หมายถึงการสั่นของระบบภายในได้แรงกระทำจากภายนอก ซึ่งแรงจากภายนอกนี้อาจจะเป็นแรงในลักษณะซ้ำตัวเองหรือไม่ซ้ำตัวเองก็ได้ การสั่นในลักษณะนี้ก็เช่นการสั่นเนื่องจากความไม่สมดุลของเครื่องจักรที่เกิดการหมุน สิ่งหนึ่งที่เราพบกับการสั่นแบบบังคับคือหากว่าความถี่ของแรงที่กระทำกับระบบนั้นไปพอดีกับความถี่ธรรมชาติของระบบพอดี การสั่นที่เกิดขึ้นจะมีลักษณะที่มีช่วงกว้างการสั่นที่สูงมาก เราเรียกการสั่นในลักษณะนี้ว่า การสั่นพ้อง (Resonance) ซึ่งผลของการสั่นพ้องนี้มักจะทำให้เกิดความเสียหายกับโครงสร้างที่กำลังเกิดการสั่นอยู่ ดังนั้นในการออกแบบวิศวกรรมมักจะหลีกเลี่ยงการเกิดการสั่นพ้องของระบบ ยกเว้นในระบบที่ต้องการให้เกิดการสั่นมากๆ เช่นในลำโพงขนาดใหญ่เป็นต้น

### 2.2.2 การสั่นแบบมีความหน่วงและไม่มีความหน่วง

1) การสั่นแบบไม่มีความหน่วง (Undamped vibration) หมายถึงการสั่นที่ไม่มีการดูดเสียง พลังงานให้กับสิ่งแวดล้อมของระบบ ไม่ว่าจะอยู่ในรูปแรงเสียดทานหรือแรงต้านอื่นใด ซึ่งเมื่อระบบเคลื่อนที่แบบไม่มีความหน่วงจะทำให้เกิดพลังงานรวมของระบบในระหว่างการเคลื่อนที่นี้มีค่าคงที่

การสั่นที่ไม่มีความหน่วงของระบบในความเป็นจริงจะเกิดขึ้นได้ในอว拉斯เท่านั้น เพราะวัตถุที่เกิดการเคลื่อนที่โดยทั่วไปแล้วจะเกิดการสูญเสียพลังงานบ้างอย่างน้อยที่สุดก็จะสูญเสียพลังงานเนื่องจากแรงเสียดทานกับอากาศรอบข้าง สำหรับระบบที่เกิดการสั่นแบบไม่มีความหน่วงและเป็นการสั่นแบบอิสระ ความถี่ของการสั่นของระบบจะเรียกว่า ความถี่ธรรมชาติ (Natural frequency) ซึ่งความถี่นี้คือว่าเป็นปริมาณที่มีความสำคัญมากในการออกแบบเพื่อป้องกันการสั่นของอุปกรณ์หรือโครงสร้าง

2) การสั่นแบบมีความหน่วง (Damped vibration) หมายถึงการสั่นที่เกิดการสูญเสียพลังงานในระหว่างการเคลื่อนที่ของระบบไม่จากสาเหตุใดก็ตาม ซึ่งเป็นผลทำให้พลังงานรวมของระบบมีค่าลดลง โดยทั่วไปแล้วการสั่นตามสภาพความเป็นจริงนั้นจะเป็นการสั่นแบบมีความหน่วงแทนทั้งสิ้น

### 2.2.3 การสั่นแบบเชิงเส้น และไม่เป็นเชิงเส้น

1) การสั่นแบบเชิงเส้น (Linear vibration) หมายถึงระบบของการสั่นซึ่งประกอบด้วย มวลด, สปริงและตัวหน่วง มีพอกัดกรรมเปลี่ยนแปลงค่าของแรงกระทำไปอย่างเชิงเส้นกับระยะทางหรือความเร็วของพิกัดที่ใช้

2) การสั่นแบบไม่เป็นเชิงเส้น (Nonlinear vibration) หมายถึงมีปริมาณใดปริมาณหนึ่งของระบบเปลี่ยนแปลงไม่เป็นเชิงเส้นกับระยะทางหรือความเร็ว

ซึ่งความแตกต่างของการสั่นทั้งสองแบบนี้ก็คือ สมการการเคลื่อนที่จะได้เป็นสมการอนุพัทธ์แบบเชิงเส้นและไม่เชิงเส้น (Linear และ Nonlinear Differential Equation) ตามลำดับ ซึ่งผลที่ตามมา ก็คือการแก้สมการอนุพัทธ์ที่ไม่เป็นเชิงเส้นนั้นมีความยุ่งยากมากกว่าแบบที่เป็นเชิงเส้นมาก

นอกจากนี้จากนั้นแล้ว หากการสั่นเป็นการสั่นเชิงเส้นจะทำให้เราไม่สามารถใช้หลักการของ การรวมตัวแห่ง (Principle of Superposition) ซึ่งหมายฯ กรณีจะช่วยลดความยุ่งยากในการคำนวณไปได้มาก แต่สำหรับการสั่นไม่เชิงเส้นนั้นเราจะใช้หลักการดังกล่าวไม่ได้

### 2.2.4 การสั่นแบบกำหนดได้ และการสั่นแบบสุ่ม

1) การสั่นแบบกำหนดได้ (Deterministic vibration) หมายถึงระบบเกิดการสั่นอยู่ภายใต้แรงกระทำจากภายนอกกันจะได้ตาม ถ้าหากว่าตัดออกเวลาที่แรงกระทำอยู่นั้นเราสามารถกำหนดขนาดของแรงได้หรือทราบค่าความสัมพันธ์ของแรงซึ่งเป็นฟังก์ชันของเวลาที่แรงนั้นกระทำ เราจะเรียกแรงกระทำนั้นว่า แรงที่กำหนดค่าได้ (Deterministic force) ซึ่งผลของแรงนี้จะทำให้เกิด การสั่นแบบกำหนดได้ (Deterministic vibration)

2) การสั่นแบบสุ่ม (Random vibration) หมายถึงแรงที่กระทำต่อระบบไม่สามารถกำหนดขนาดที่เวลาใดๆ ได้อย่างแน่นอน เราเรียกแรงแบบนี้ว่าแรงแบบสุ่ม (Undeterministic หรือ Random force) และการสั่นที่เกิดจากแรงดังกล่าวจะเรียกว่า การสั่นแบบสุ่ม (Random vibration)

### 2.3 การป้องกันการสั่นสะเทือน

ในองค์ประกอบต่างๆ ของเครื่องจักรกลและ โครงสร้างนักจะมีส่วนที่ทำให้เกิดการสั่นมากน้อย ไม่ว่าจะเป็นการสั่นอันเนื่องมาจากการหมุนของส่วนประกอบต่างๆ การกระแทกของเครื่องจักร การเคลื่อนที่ไปมาของชิ้นส่วนเครื่องจักร การไหลผ่านของของเหลวผ่าน โครงสร้างของเครื่องจักรเป็นต้น ดังนั้นมีแหล่งกำเนิดแรงกระทำเหล่านี้จะทำให้เกิดการสั่นของเครื่องจักรหรือโครงสร้างตามมา อย่างหลีกเลี่ยงไม่ได้ การสั่นของระบบดังกล่าวอาจจะนำมาซึ่งการเสียหายของระบบเอง หรือหากใน กรณีวิกฤติอาจเป็นสาเหตุทำให้เกิดการสูญเสียชิ้นของผู้ใช้เครื่องจักรเหล่านี้ได้

เมื่อเกิดการสั่นขึ้นในระบบบางครั้งหากว่าการสั่นนั้นไม่ได้ทำให้เกิดการสูญเสีย การเสียหาย หรือทำความร้าวความกับผู้ใช้มากนัก เราอาจยอมให้เกิดการสั่นเหล่านั้น แต่เมื่อใดก็ตามการสั่นมีความ รุนแรง สร้างเสียงดัง ทำให้ผู้ใช้ต้องอยู่ในสภาพการทำงานที่ไม่เหมาะสมหรืออาจเกิดอันตรายได้ วิศวกร มีหน้าที่ต้องลดการสั่นนั้นให้อยู่ในสภาพที่ยอมรับได้

วิธีการลดหรือการควบคุมการสั่นให้อยู่ในช่วงที่ยอมรับได้ โดยหลักการแล้วจะมีวิธีหลักๆ อยู่ ดังต่อไปนี้

#### 2.3.1 การควบคุมความถี่ธรรมชาติของระบบ

ถ้าหากว่าความถี่ของแรงกระทำนี้มีค่าเท่ากับความถี่ธรรมชาติของระบบ การสั่นพ้องจะเกิดขึ้น ลักษณะสำคัญของการสั่นพ้องก็คือขนาดของการสั่นจะสูงมากขึ้น แม้ว่าขนาดของแรงกระทำจะมีค่าไม่ มากก็ตามในระบบของเครื่องจักรหรือ โครงสร้างต่างๆ นั่นการจัดที่เกิดขึ้นในขนาดที่มากนั้นเป็นสิ่งที่ เรายังไม่ต้องการ เพราะอาจนำมาซึ่งความเดินและความเครียดที่สูงซึ่งเป็นสาเหตุที่ทำให้เกิดการเสียหายได้ ไม่ว่าเป็นกรณีของการวินิจฉัยทันทีหรือเป็นการวินิจฉัยเนื่องจากความล้า ดังนั้นเราจำเป็นต้องทำการ สั่นที่ไม่ต้องการเหล่านี้ออกไป อย่างไรก็ตามในการผ่านส่วนใหญ่แล้วเราไม่สามารถที่จะเข้าไป เปลี่ยนแปลงความถี่ของแรงกดชนอกที่กระทำได้มากนักเพระโดยส่วนใหญ่รูปแบบการทำงานของ เครื่องจักรเหล่านี้จะถูกกำหนดค่าขึ้นอย่างแน่นอนและเปลี่ยนแปลงได้ยาก ดังนั้นเราจึงจำเป็นต้อง เปลี่ยนแปลงค่าความถี่ธรรมชาติของอุปกรณ์หลักของเรารอที่จะป้องกันการสั่นพ้อง

### 2.3.2 การเพิ่มตัวหน่วง

การพิจารณาบนการสั่นบางครั้งเรามาตัดค่าความหน่วงของระบบออกจากพิจารณาเพื่อช่วยให้การพิจารณาของระบบการสั่นง่ายขึ้น โดยเฉพาะกรณีที่เราสนใจที่จะหาค่าความถี่ธรรมชาติของ การสั่น แต่ในความเป็นจริงแล้วระบบทุกระยะจะมีตัวหน่วงประกอบอยู่ด้วยไม่นักก็น้อย การที่เรามีตัวหน่วงอยู่ในระบบนี้ในทางปฏิบัติถือว่ามีประโยชน์อย่างหลายประการ เช่น โชคดีของรถยนต์จะช่วยลดการสั่นและเพิ่มความนิ่นవลในการขับขี่เป็นต้น

### 2.3.3 อุปกรณ์ลดการสั่น

การที่เครื่องจักรทำงานในสภาพทั่วๆ ไปเป็นไปได้ที่เครื่องจักรอาจจะเกิดการสั่นอย่างรุนแรง ขึ้นได้บ้างในบางรอบการทำงานของเครื่อง ซึ่งผลลัพธ์ในส่วนใหญ่มาจากการหมุนแบบไม่สมดุลของชิ้นส่วนต่างๆ หากนั้นแรงจากการสั่นนี้จะส่งผลกระทบมาที่ฐานที่ติดตั้งและแรงที่ส่งผ่านกระทำมาที่ฐานนี้จะทำให้ฐานเกิดการเสียหาย อีกกรณีหนึ่งคือถ้าเราติดตั้งอุปกรณ์อิเล็กทรอนิกส์เข้ากับชิ้นส่วนซึ่งมีการสั่นมากๆ อุปกรณ์เหล่านี้อาจจะเกิดการเสียหายจากการสั่นได้เช่นกัน

วิธีการป้องกันการสั่นที่จะเกิดกับฐานหรืออุปกรณ์ที่เราต้องการไม่ให้เกิดการสั่นอย่างรุนแรง คือการใช้เครื่องลดการสั่นแบบจำนวนการสั่น (Vibration isolation) โดยหลักการแล้วเครื่องลดการสั่นประเภทนี้จะประกอบด้วยสปริงและตัวหน่วง ที่นำเข้าไปแทนกระห่วงส่วนที่เกิดการสั่นและส่วนที่เราไม่ต้องการให้เกิดการสั่น ทำให้อุปกรณ์นี้เป็นแม่ขอนจำนวน (Isolator) ของการสั่น สำหรับวิศวกรแล้ว การออกแบบเครื่องลดการสั่นแบบจำนวนการสั่นประเภทนี้ก็จะเป็นการศึกษาถึงการเลือกเครื่องลดการสั่นที่เหมาะสม ซึ่งนั่นก็คือการเลือกค่าความแข็งของสปริง และค่าความหน่วงที่เหมาะสมกับระบบนั้นเอง

ในทางปฏิบัติเราสามารถที่จะเลือกผลิตภัณฑ์ลดการสั่นที่จัดทำสำเร็จโดยใช้ชิ้นส่วนพิเศษ คือตัวหัวกัน ซึ่งจะมีทั้งแบบตายตัว (Passive isolator) คือจะมีเฉพาะสปริงและตัวหน่วงที่มีค่าคุณสมบัติคงที่ และแบบปรับค่าได้ (Active isolator) คือจะมีเครื่องมือวัดในตัวเพื่อปรับค่าความหน่วงและค่าความแข็งของสปริงได้ด้วย

### 2.3.4 เครื่องซับการสั่น

เป็นตัวป้องกันการสั่นจากอุปกรณ์ที่สั่นลงสู่พื้นหรือจากพื้นที่สั่นเข้าสู่อุปกรณ์ แต่ถ้าหากว่า อุปกรณ์ที่เราต้องการจะป้องกันการสั่นนั้นเป็นตัวที่ก่อให้เกิดการสั่น เราจะลดการสั่นของอุปกรณ์นั้นโดยใช้อุปกรณ์ที่เรียกว่า เครื่องซับการสั่น (Vibration absorbers)

ลักษณะการทำงานของเครื่องซับการสั่นคือเมื่ออุปกรณ์หลักของเรามาติดตั้งอยู่และเกิดการสั่นขึ้น เมื่อเราติดตั้งเครื่องซับการสั่นนี้เข้าไปกับอุปกรณ์หลัก เครื่องซับการสั่นนี้จะดูดกลืนการสั่นไป ทำ

ให้เครื่องชับการสั่นนี้จะเป็นตัวที่เกิดการสั่นแทน และอุปกรณ์หลักจะมีการสั่นน้อยลงหรือหยุดสั่น การที่จะเกิดลักษณะการชับการสั่นจากอุปกรณ์หลักไป เช่นนี้ได้นั้นเราจะต้องคิดตั้งเครื่องชับการสั่นที่มีค่าความถี่ธรรมชาติที่เหมาะสมเข้ากับอุปกรณ์หลักของเรา

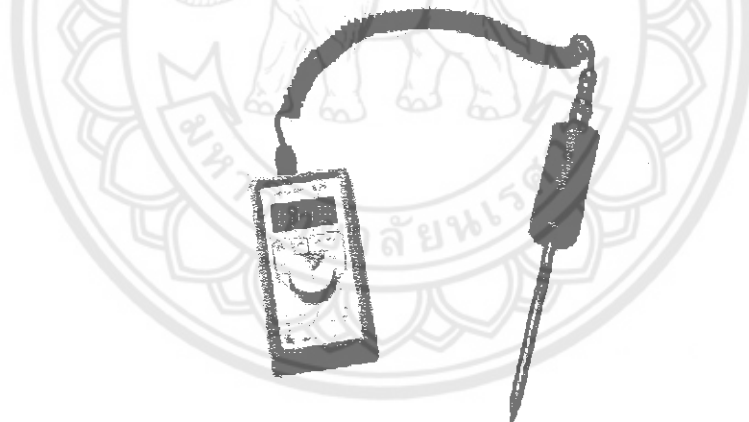
#### 2.4 อุปกรณ์ตรวจจับการสั่น

เมื่อใช้ทราบสศิวเซอร์ร่วมกับอุปกรณ์อื่นๆ ตามเพื่อใช้วัดการสั่น เราจะเห็นเรื่องอุปกรณ์นี้ว่า อุปกรณ์ตรวจจับการสั่น (Vibration pickup) โดยทั่วไปอุปกรณ์ที่ใช้ตรวจจับการสั่นที่นิยมใช้จะเป็น ประเภท seismic instrument โดยอุปกรณ์ seismic นี้จะประกอบไปด้วยระบบ มวล-สปริง-ตัวหน่วง คิดตั้งบนส่วนที่เกิดการสั่น จากนั้นการจัด ความเร็วหรือความเร่งของชิ้นส่วนที่เครื่องวัดนี้คิดตั้งอยู่ จะสามารถหาได้จากการวัดการขัดของมวลที่อยู่ภายในสัมพัทธ์กับฐานที่อุปกรณ์นี้คิดตั้งอยู่

สำหรับเครื่องมือวัดการสั่นแบบต่างๆ ที่ใช้หลักการของอุปกรณ์ seismic จะมีดังต่อไปนี้

##### 1) Vibrometer

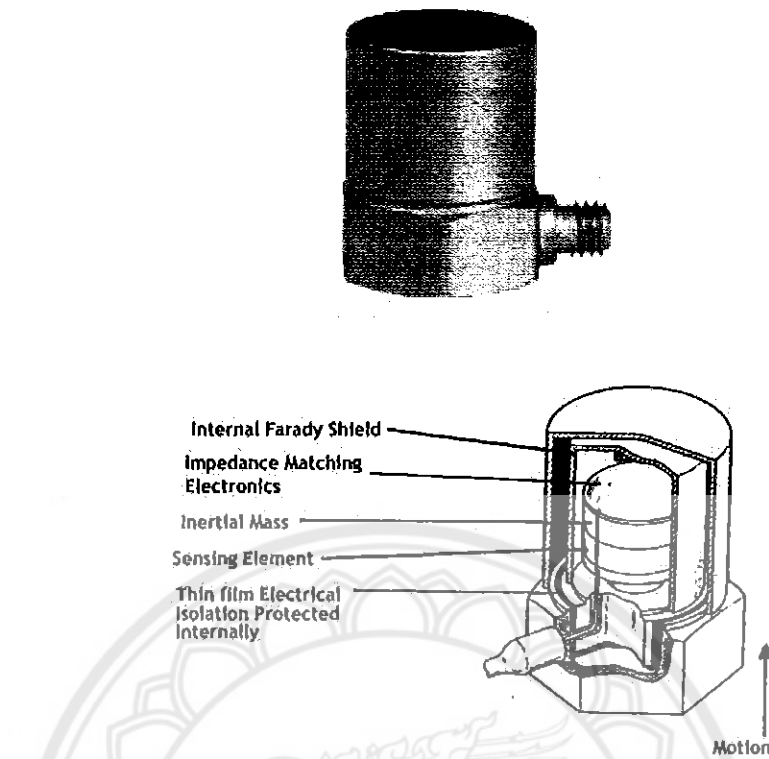
Vibrometer (ดูรูปที่ 2.5) หรือเป็นที่รู้จักกันในอีกชื่อหนึ่งว่า Seismometer เป็นเครื่องมือที่ใช้วัดการขัดของวัตถุที่เกิดการสั่น และใช้ทำการขัดสัมพัทธ์ระหว่างมวลและฐานซึ่งรับความรู้สึกผ่านเซนเซอร์



รูปที่ 2.5 เครื่อง vibrometer ([www.findtheneedle.co.uk](http://www.findtheneedle.co.uk))

##### 2) Accelerometer

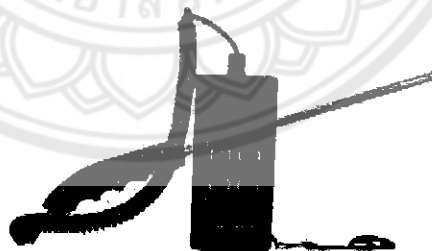
อุปกรณ์วัดความเร่ง (รูปที่ 2.6) คือเครื่องมือที่ใช้วัดความเร่งที่เกิดจากการสั่นของวัตถุ เครื่องวัดความเร่งนี้ มีการนำไปใช้กับอุปกรณ์ที่ต้องการวัดการสั่น รวมถึงการวัดค่าแผ่นดินไหวด้วย เมื่อเราใช้เครื่องวัดความเร่งนี้วัดและบันทึกค่าความเร่งที่เกิดขึ้น ได้แล้วเราสามารถหาค่าความเร็วและการขัดได้



รูปที่ 2.6 เครื่อง accelerometer ([www.acu-vib.com.au](http://www.acu-vib.com.au))

### 3) Velometer

Velometer (ดังรูปที่ 2.7) คืออุปกรณ์ที่ใช้ในการวัดความเร็วของวัตถุที่เกิดการสั่น



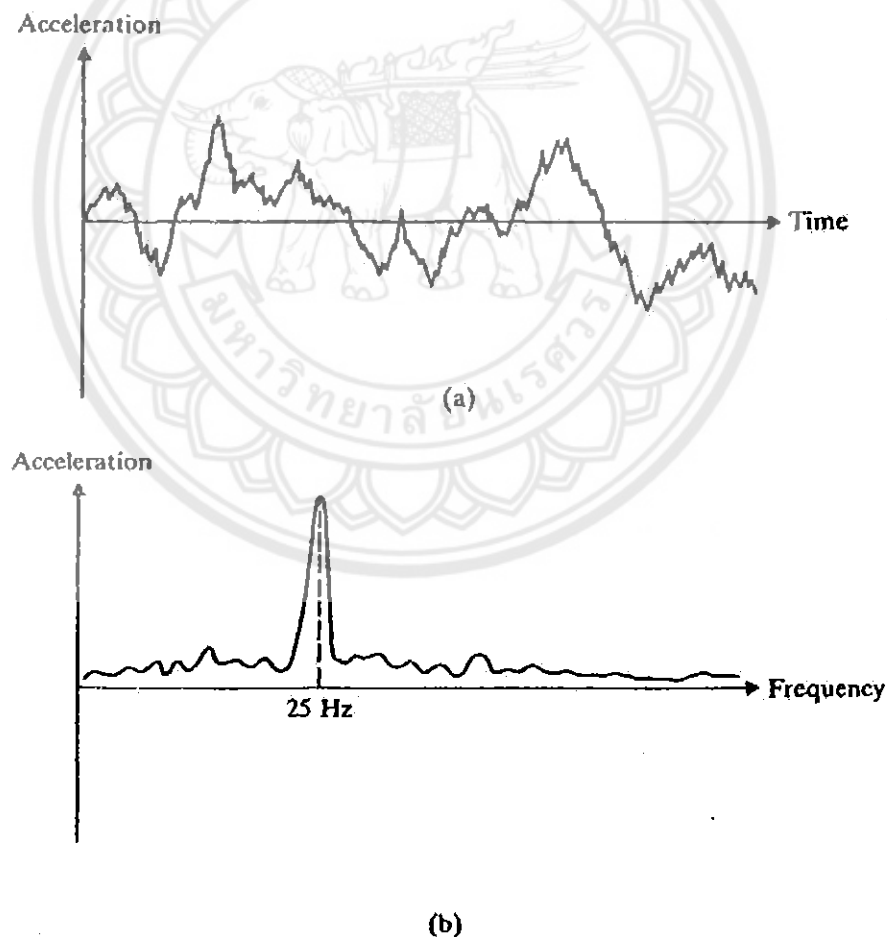
รูปที่ 2.7 เครื่อง velometer ([www.nyle.com](http://www.nyle.com))

## 2.5 การวิเคราะห์สัญญาณ

การวิเคราะห์สัญญาณ หมายถึง วิธีการที่เราตีความหมายของสัญญาณที่เราวัดว่าประกอบด้วยอะไรบ้าง และส่วนใดในสัญญาณที่วัดได้นั้นถือว่ามีความสำคัญต่อการสั่น เราทราบอยู่แล้วว่าในการสั่นนั้น ความดีและขนาดของการสั่นจะมีความสำคัญมากกว่ารูปแบบ หรือลักษณะการสั่นที่เปลี่ยนตามเวลา ดังนั้นมือเราจึงต้องทำการเปลี่ยนแปลงของสัญญาณที่เปลี่ยนแปลงไปกับเวลา หรือเรานิยมเรียกว่าสัญญาณ

ที่อยู่ในโคลเมนของเวลา (Time domain) ซึ่งเป็นสัญญาณที่เราตรวจจับได้ในการวัดทั่วๆ ไป เพราะเป็นการวัดค่าที่เวลาต่างๆ และเพื่อให้เราสามารถที่จะศึกษาความหมายที่เป็นประวัติของสัญญาณได้เราจำเป็นต้องนำสัญญาณนั้นมาแปรความหมายให้เป็นการเปลี่ยนแปลงของขนาดของสัญญาณตามความถี่ต่างๆ หรือกล่าวอีกนัยหนึ่ง ก็คือเปลี่ยนสัญญาณให้มาอยู่ในโคลเมนความถี่ (Frequency domain) นั่นเอง

ตัวอย่างของความสำคัญที่ต้องมีการเปลี่ยนโคลเมนของสัญญาณก็เช่น หากเราใช้เครื่องมือวัดความเร่งเพื่อวัดความเร่งของเครื่องจักรเครื่องหนึ่ง ถึงที่เราจะได้จะออกมาในลักษณะของความเร่งในโคลเมนเวลา ซึ่งสมมติว่ามีลักษณะเป็นรูปคลื่นดังที่แสดงในรูปที่ 2.8(a) จากรูปเราจะทราบว่าความเร่งเนื่องจาก การสั่นของเครื่องจักรนี้ เมื่อเวลาหนึ่งๆ มีค่าเป็นเท่าใดและความเร่งสูงสุดที่เกิดขึ้นมีค่าเท่าใด อีกต่อไปถ้าหากว่าส่วนต่างๆ ของเครื่องจักรทำงานที่ความถี่ต่างๆ กัน ซึ่งอาจเกิดขึ้นได้ในกรณีที่มีการใช้พื้องที่รอบเพื่อให้ส่วนต่างๆ ทำงานที่รบกวนต่างๆ กันตามที่เราต้องการ ดังนั้นเราอาจไม่ได้ข้อมูลว่าส่วนใดเกิดการสั่นมากที่สุด เพราะการสั่นที่วัดได้เป็นการวัดความเร่งรวมจากการสั่นที่เกิดขึ้นทั้งหมด



รูปที่ 2.8 สัญญาณในโคลเมนเวลาและโคลเมนความถี่ (กนต์ธ, 2545)

อีกต่อไปถ้าหากเราเปลี่ยนสัญญาณในโคลเมนเวลาที่ให้มาระบุในโคลเมนความถี่ ซึ่งจะทำให้เราได้กราฟที่แสดงในรูป 2.8(b) ในรูปนี้ เราได้ขนาดของความเร่งที่มีความถี่ต่างๆ และจากในรูปเราพบว่า

ชิ้นส่วนที่สั่นด้วยความถี่ 25 Hz จะทำให้เกิดความเร่งสูงสุด ดังนั้นหากเราตรวจสอบว่าในเครื่องจักรของเราเป็นชิ้นส่วนใดที่ทำหน้าที่ความถี่ 25 Hz เราจะได้ชิ้นส่วนนั้นเป็นชิ้นที่ให้เกิดการสั่นมากที่สุด นั่นเอง การทำเช่นนี้จะทำให้เราทราบข้อมูลที่มีประโยชน์ในการแก้ไขหรือปรับปรุงการทำงานของชิ้นส่วนนั้นได้ดีขึ้น

เมื่อคอมพิวเตอร์และระบบดิจิตอลเข้ามานมีบทบาทในการวิศวกรรมในปัจจุบันนี้ การเปลี่ยนแปลงสัญญาณในโคล เมนเวลาให้นาอยู่ในโคล เมนความถี่สามารถทำได้แบบใช้เวลาจริง (Real time) ไม่ว่าจะเป็นการใช้ การเปลี่ยนรูปเรียบร้อย่างเร็ว (Fast Fourier Transform, FFT) หรือการใช้ตัวกรองสัญญาณดิจิตอล (Digital filtering) ซึ่งการพิจารณาการทำงานของเครื่องจักรที่กำลังทำงานอยู่นั้น การพิจารณาได้ในเวลาจริงนี้มีประโยชน์ในการตรวจสอบการทำงานของเครื่องจักรได้อย่างใกล้ชิด ทำให้เราสามารถทราบความผิดพลาดที่อาจเกิดขึ้นได้ตลอดเวลา

สำหรับตัวกรองสัญญาณดิจิตอล และ FFT จะมีประสิทธิภาพในการทำงานที่แตกต่างกัน โดยความกว้างของสัญญาณ (Bandwidth) จะเป็นตัวกำหนด ดังนั้นในเบื้องต้นนี้จะกล่าวถึงองค์ประกอบที่พื้นฐานของการวิเคราะห์สัญญาณ ดังนี้

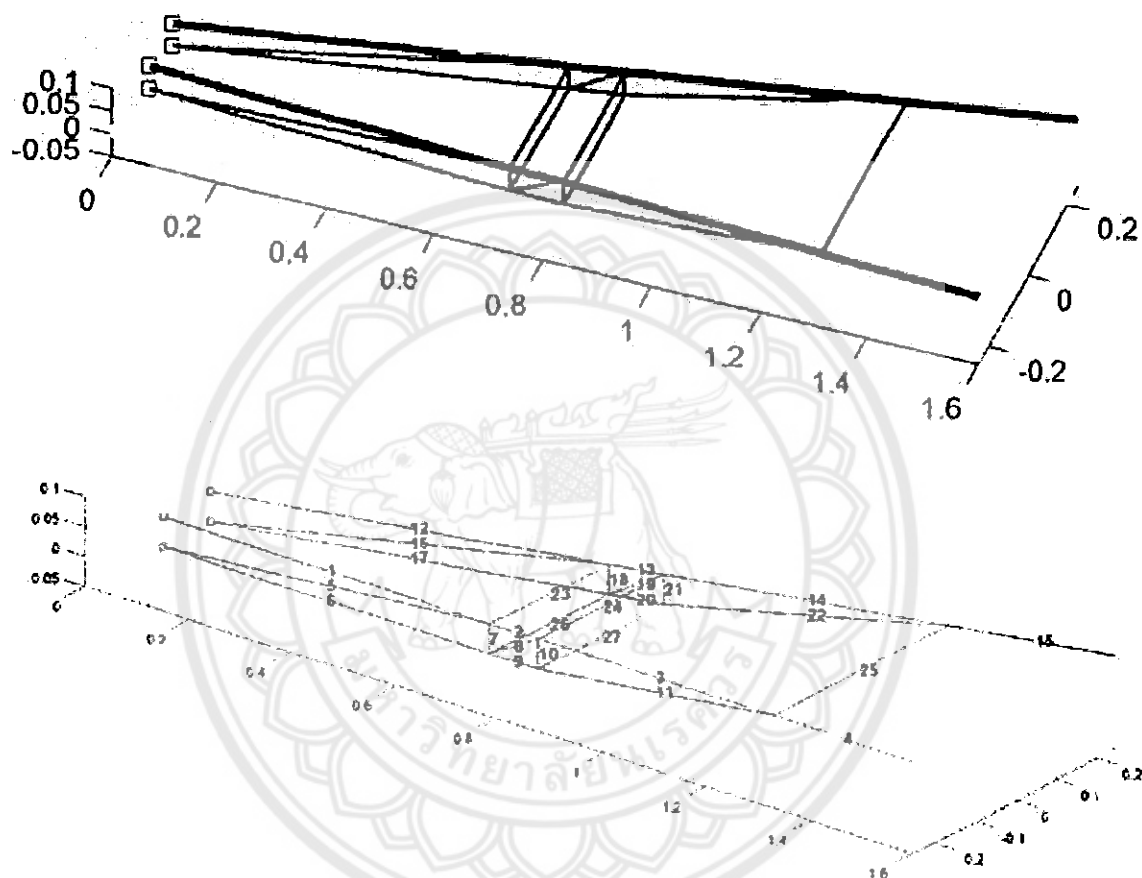
- 1) Bandpass filter เป็นวงจรไฟฟ้าที่ยอมให้สัญญาณในช่วงความถี่หนึ่งเท่านั้นที่สามารถผ่านออกไปได้ โดยจะตัดสัญญาณที่มีความถี่มากกว่าและน้อยกว่าช่วงที่กำหนดออกไป วงจรไฟฟ้านี้สามารถสร้างโดยใช้ ความต้านทาน Inductor และตัวเก็บประจุ
- 2) Lowpass filter เป็นวงจรไฟฟ้าที่ยอมให้สัญญาณความถี่ต่ำกว่าที่กำหนดผ่านได้
- 3) Highpass filter เป็นวงจรไฟฟ้าที่ยอมให้สัญญาณความถี่สูงกว่าที่กำหนดผ่านได้

## 2.6 การศึกษาและการวิเคราะห์การสั่นสะเทือนของรถ ໄດ້ເຄີນຕາມ

Sookkumnerd (2000) ศึกษาพฤติกรรมการสั่นสะเทือนของรถ ໄດ້ເຄີນຕາມໂດຍກາຣວິເກຣະໜີ Spectrum ของการสั่นสะเทือนพบว่า การสั่นสะเทือนของรถ ໄດ້ເຄີນຕາມນາຈາກ 2 ແຫວ່ງທີ່ສຳຄັນຂຶ້ນຕື່ມີເກົ່າງຍິນຕີ່ທີ່ทำໃຫ້ເກີດກາຣສຳຄັນທີ່ຄວາມດີ່ສູງ ແລ້ວລັບແຫຼືກຂອງຮອດ ໄດ້ເຄີນຕາມທີ່ທີ່ໃຫ້ເກີດກາຣສຳຄັນທີ່ຄວາມດີ່ຕໍ່າ ໃນຈານວິຊັ້ນຄັ້ງລ່າວຜູ້ວິຊັ້ນໄດ້ທຳກາຣທົດສອນພລຂອງກາຣໃຊ້ຕົວຮອງຮັບກາຣສຳຄັນ (Vibration Isolator) ຕ່ອງນາຄຂອງກາຣສຳຄັນສະເໜີ ໂດຍໃຊ້ບາງທຽມຫາດີເປັນຕົວຮອງຮັບກາຣສຳຄັນ ຕິດຕັ້ງຮະຫວ່າງເກົ່າງຍິນຕີ່ແລ້ວໂຄຮງຂອງຮອດ ໄດ້ເຄີນຕາມ ພບວ່າຄຸພສນບັດຕິດ້ານຄຸວາມຢືນຢັນຂອງຕົວຮອງຮັບກາຣສຳຄັນມີພລຕ່ອບນາຄຂອງກາຣສຳຄັນແລ້ວກາຣໃຊ້ຕົວຮອງຮັບກາຣສຳຄັນທີ່ມີຄຸພສນບັດຕິທາງດ້ານຄຸວາມຢືນຢັນທີ່ເໝາະສົມສາມາດຄຸດນາຄຂອງກາຣສຳຄັນສະເໜີໃນຫ່ວງຄວາມດີ່ສູງລົງໄດ້

Kanyakam และ Bureerat (2007) ໄດ້ທຳກາຣສຶກຍາແລ້ວທົດລອງ ເພື່ອຫາວິທີລວດກາຣສຳຄັນສະເໜີຂອງໂຄຮງສົງຮັງຊຸດມືອຈັນຂອງຮອດ ໄດ້ເຄີນຕາມ ໂດຍໃຊ້ຊຸດຄໍາສັ່ງຂອງ PBIL ທີ່ອອກແບນກາຣສຳຄັນສະເໜີແລ້ວ

โครงสร้างชุดมือจับ และออกแบบฟังก์ชันการประมาณค่าที่ส่งออกไปโดยใช้โปรแกรม Finite element analysis ซึ่งประสิทธิภาพการควบคุมการสั่นสะเทือนของชุดมือจับ ได้ผลดีโดยการนำแบบ multiobjective PBIL แต่ไม่ได้ทดสอบจริงกับรถ ได้เดินตามเป็นเพียงการวิเคราะห์โดยใช้โปรแกรมทางคอมพิวเตอร์เท่านั้น (รูปที่ 2.9)

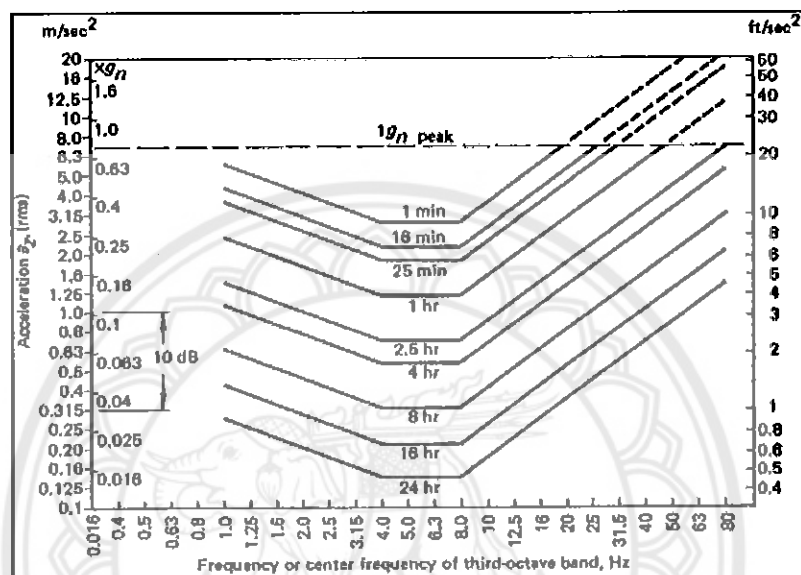


รูปที่ 2.9 รูปชุดมือจับจากโปรแกรม Finite element analysis (Kanyakam และ Bureerat, 2007)

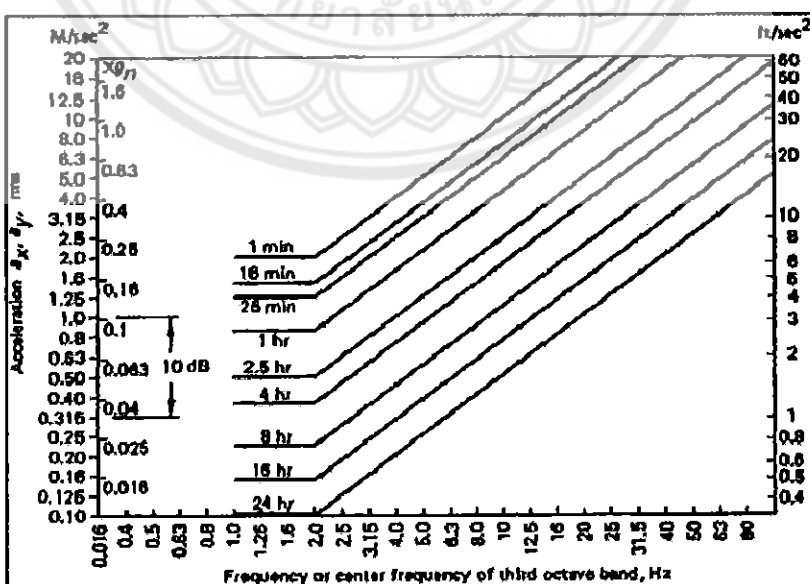
## 2.7 ปั๊ดจำกัดความเมื่อยล้า (Fatigue-decreased proficiency)

ปั๊ดจำกัดความเมื่อยล้า ( $f_{dp}$ ) คือปั๊ดความสามารถของมนุษย์ในการทบทวนต่อการสั่นสะเทือนที่ได้รับซึ่งจะขึ้นอยู่กับความถี่และขนาดของการสั่นสะเทือน

สำหรับมนุษย์ การตอบสนองอย่างรุนแรงในแนวตั้ง ( $a_z$ ) จะอยู่ในช่วงความถี่ 4-8 Hz และแนวระดับ ( $a_x$  และ  $a_y$ ) ต่ำกว่า 2 Hz (ISO 2631/1, 1985)



รูปที่ 2.10 แสดงความสัมพันธ์ระหว่างความเร่งในแนวตั้ง ( $a_z$ ) กับความถี่ที่มีผลต่อชั่วโมงในการทำงานของมนุษย์ (ISO 2631/1, 1985)



รูปที่ 2.11 แสดงความสัมพันธ์ระหว่างความเร่งในแนวระดับ ( $a_x$  และ  $a_y$ ) กับความถี่ที่มีผลต่อชั่วโมงในการทำงานของมนุษย์ (ISO 2631/1, 1985)

## 2.8 แนวทางในการลดการสั่นสะเทือน

จากการศึกษาการออกแบบโครงสร้างของชุดมือจับใหม่เพื่อลดการสั่นสะเทือน (Kanyakam และ Bureerat, 2007) ซึ่งจะเน้นสมกับเกณฑ์ที่ต้องการซึ่งโครงสร้างของชุดมือจับใหม่ แต่เมื่อจากเกณฑ์ที่ต้องการส่วนใหญ่มีรอกอยู่แล้ว จากปัญหาดังกล่าวจึงมีแนวคิดเพื่อหาแนวทางที่จะสามารถลดการสั่นสะเทือนได้และมีราคาถูกมาใช้ จึงได้ทำการศึกษาการลดการสั่นสะเทือนโดยการติดตั้งแผ่นยางระหว่างห้องเพื่องกับชุดมือจับดังแสดงในรูปที่ 2.12 ซึ่งเป็นวิธีหนึ่งที่น่าสนใจ ที่อาจสามารถลดการสั่นสะเทือนที่จะถูกส่งผ่านโดยตรงจากเครื่องยนต์ ล้อรถ ห้องเพื่องสู่ชุดมือจับและคันบังคับได้



รูปที่ 2.12 แสดงจุดที่จะทำการติดตั้งแผ่นยางรองระหว่างห้องเพื่องกับชุดมือจับและคันบังคับ

## บทที่ 3

### วิธีการดำเนินโครงการ

วิธีการดำเนินโครงการประกอบไปด้วยขั้นตอนหลัก 2 ขั้นตอน คือ การวัดค่าการสั่นสะเทือนของรถไถเดินตามที่ยังไม่ได้ปรับปรุง และหลังปรับปรุงค่าวิธีการใช้เพ่นย่างรองขนาดความหนา 10 และ 20 มิลลิเมตร ตามลำดับ รองระหว่างบริเวณห้องเพื่องกับชุดมือจับ และการวิเคราะห์ค่าการสั่นสะเทือนโดยใช้โปรแกรม DIAdem 10.2 รายละเอียดของวิธีการดำเนินงานมีดังต่อไปนี้

#### 3.1 การวัดค่าการสั่นสะเทือนของรถไถเดินตาม

##### วัสดุประสงค์

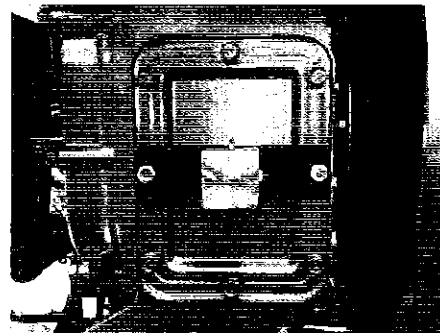
- 1) เพื่อวัดค่าความสั่นสะเทือนของรถไถเดินตามที่ตำแหน่งค้านหน้าเครื่องยนต์ บนห้องเพื่อง และ ชุดมือจับ
- 2) เพื่อวิเคราะห์หาแหล่งกำเนิดของการสั่นสะเทือน

##### อุปกรณ์ที่ใช้

- 1) รถไถเดินตาม Kubota โครงรถรุ่น NC131 Standard เครื่องยนต์ RT120
- 2) อุปกรณ์วัดการสั่นสะเทือน (Accelerometer)
- 3) เครื่องวัดความเร็วอน
- 4) นาฬิกาจับเวลา
- 5) เครื่องวิเคราะห์แรงและการสั่นสะเทือน SCXI
- 6) โปรแกรม DIAdem 10.2
- 7) คอมพิวเตอร์

##### ขั้นตอนการทดลอง

- 1) นำอุปกรณ์วัดการสั่นสะเทือนมาติดตั้งบริเวณที่หน้าเครื่องยนต์ (รูปที่ 3.1) ห้องเพื่อง (รูปที่ 3.2) และ ชุดมือจับของรถไถเดินตาม (รูปที่ 3.3)



รูปที่ 3.1 ตำแหน่งติดตั้งอุปกรณ์วัดความเร่งที่หน้าห้องเครื่องยนต์



รูปที่ 3.2 ตำแหน่งติดตั้งอุปกรณ์วัดความเร่งที่ห้องไฟ昂



รูปที่ 3.3 ตำแหน่งติดตั้งอุปกรณ์วัดความเร่งที่มือจับ

- 2) ตั้งความเร็วรอบของเครื่องยนต์ที่ 2000 รอบต่อนาที
- 3) ทำการวัดการสั่นสะเทือนในขณะที่รถหยุดนิ่งเป็นเวลา 20 วินาที

โดยวัดการสั่นสะเทือนใน 3 แนวแกน      - ตามแนวยาวของรถ (x)

- ตามแนววางของรถ (y)

- ตามแนวคิ่งของรถ (z)

ตำแหน่งที่ทำการวัด      - ด้านหน้าเครื่องยนต์

- บนห้องไฟ昂

- มือจับ

โดยทำการวัดที่ละตำแหน่งและที่ละแนวแกนและทำการทดสอบ 3 ชั้ว

- 4) ทำการทดลองเหมือนข้อ 3 แต่ให้รถเคลื่อนที่โดยใช้เกียร์ 1 วิ่งบนถนนแห้งระหว่างทาง 20 เมตร
- 5) จับเวลาและบันทึกผลการสั่นสะเทือน

### 3.2 การทดลองหาค่าการสั่นสะเทือนของรถไถเดินตามหลังปรับปูรุ่ง

#### วัสดุประสงค์

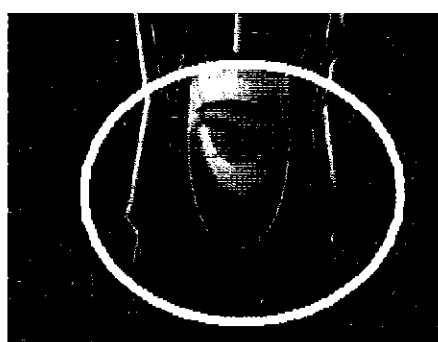
- 1) เพื่อหาค่าการสั่นสะเทือนของรถไถเดินตามหลังจากติดแผ่นยางรอง

#### อุปกรณ์ที่ใช้

- 1) รถไถเดินตาม Kubota โครงรถรุ่น NC131 Standard-เครื่องยนต์ RT120
- 2) อุปกรณ์วัดการสั่นสะเทือน (Accelerometer)
- 3) เครื่องวัดความเร็วรถ
- 4) แผ่นยางรอง ความหนาขนาด 10 mm.(ค่าความแข็งชอร์ต A = 66.1) และ 20 mm.(ค่าความแข็งชอร์ต A = 64.5)
- 5) นาฬิกาจับเวลา
- 6) เครื่องวิเคราะห์แรงและการสั่นสะเทือน SCXI
- 7) โปรแกรม DIAdem 10.2
- 8) คอมพิวเตอร์
- 9) ความเหล็ก

#### ขั้นตอนการทดลอง

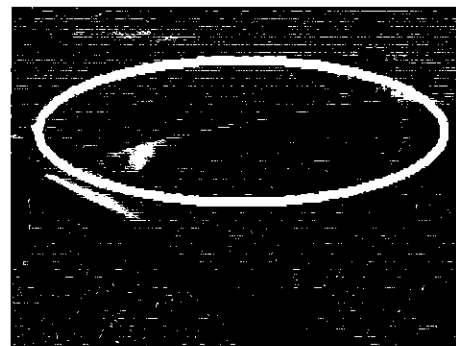
- 1) นำอุปกรณ์วัดการสั่นสะเทือนมาติดตั้งบริเวณที่หน้าเครื่องยนต์ (รูปที่ 3.1) ห้องเพิง (รูปที่ 3.2) และ ชุดมือจับของรถไถเดินตาม (รูปที่ 3.3) และใช้เจลที่หน้าผิวสัมผัสระหว่างตัวอุปกรณ์วัดความเร่ง กับตัวชีด และใช้ประแจไขตัวอุปกรณ์วัดความเร่งกับตัวชีดให้แน่น
- 2) นำแผ่นยางรอง ความหนาขนาด 10 mm. มาติดระหว่างห้องเกียร์กับชุดมือจับ (รูปที่ 3.4)



ดำเนินการติดตั้งแผ่น  
ยางขนาด 10 mm.

รูปที่ 3.4 ติดแผ่นยางรอง หนา 10 mm. ระหว่างห้องเกียร์กับชุดมือจับ

- 3) ทำการเปลี่ยนคานเหล็กบริเวณชุดมือจับ ยาว 48 เซนติเมตร เมื่อใส่แผ่นยางรอง ยาว 10 มิลลิเมตร(รูปที่ 3.5)



คานเหล็กที่นำมาเปลี่ยนมือจับ  
ทำการติดตั้งแผ่นยาง

รูปที่ 3.5 เปลี่ยนคานเหล็กเพื่อให้ระยะมือจับเหมาะสมหลังใส่แผ่นยางรอง

- 4) ตั้งความเร็วรอบของเครื่องยนต์ที่ 2000 รอบต่อนาที

- 5) ทำการวัดการสั่นสะเทือนในขณะที่รถหยุดนิ่ง

โดยวัดการสั่นสะเทือนใน 3 แนวแกน

ตำแหน่งที่ทำการวัด

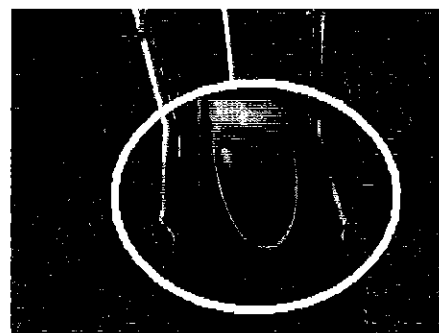
- ตามแนวยาวของรถ (x)
- ตามแนวขวางของรถ (y)
- ตามแนวดิ่งของรถ (z)
- ด้านหน้าเครื่องยนต์
- บนห้องพื้อง
- มือจับ

โดยทำการทดลอง 3 ครั้ง

- 6) ทำการทดลองใหม่อีก 4 แต่ให้รถเคลื่อนที่โดยใช้เกียร์ 1 วิ่งบนถนนแห้งระยะทาง 20 เมตร

- 7) จับเวลาและบันทึกผลการสั่นสะเทือน

- 8) ทำการเปลี่ยนแผ่นยางรอง ความหนาขนาด 20 mm. (รูปที่ 3.6) และเปลี่ยนคานเหล็กบริเวณชุดมือจับยาว 50 เซนติเมตร แล้วทำการทดลองตามข้อ 4 ถึงข้อ 7



ตำแหน่งที่ติดตั้งแผ่น  
ยางขนาด 20 mm.

รูปที่ 3.6 ติดแผ่นยางรอง หนา 20 mm. ระหว่างห้องเกียร์กับชุดมือจับ

15067480 e2

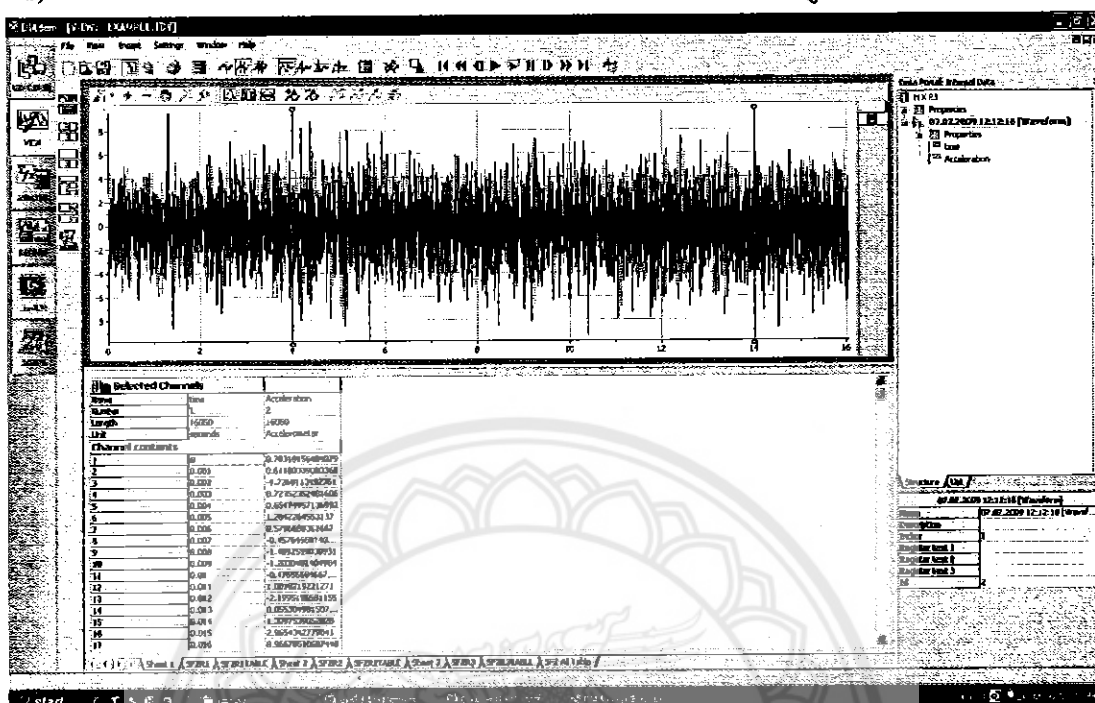
15.

ก.พ.๖๔

2552

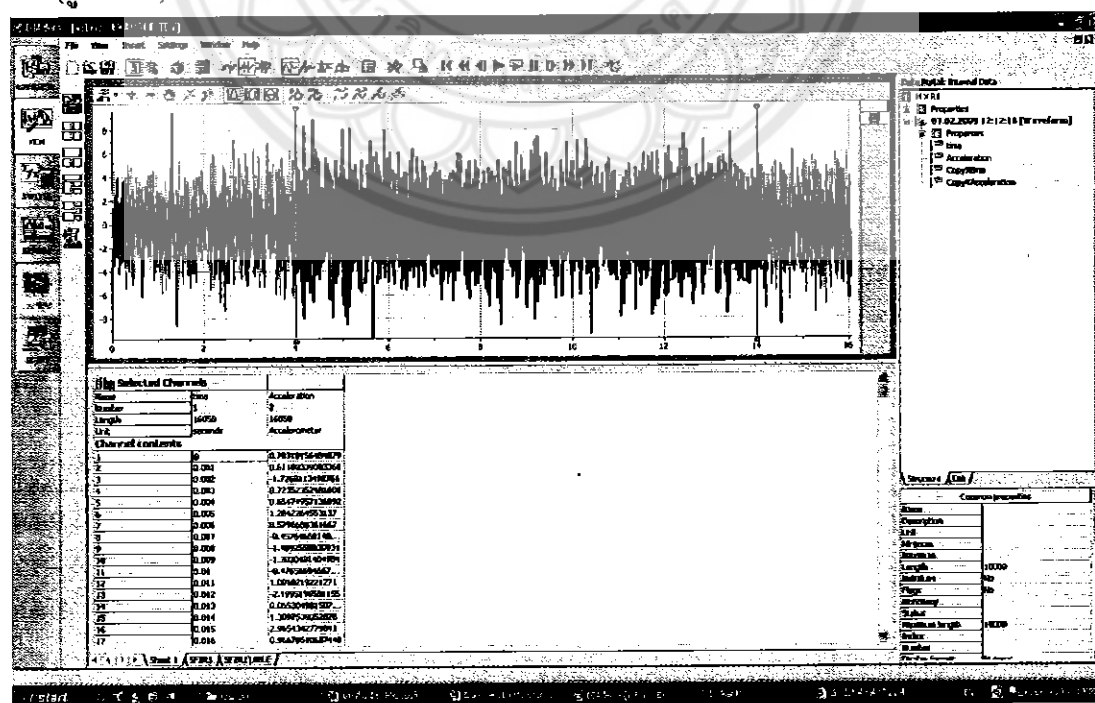
### 3.3 ขั้นตอนการวิเคราะห์ผลโดยใช้โปรแกรม DIAdem 10.2

- นำผลการทดลองที่บันทึกได้มาเปิดในโปรแกรม DIAdem 10.2 (รูปที่ 3.7)



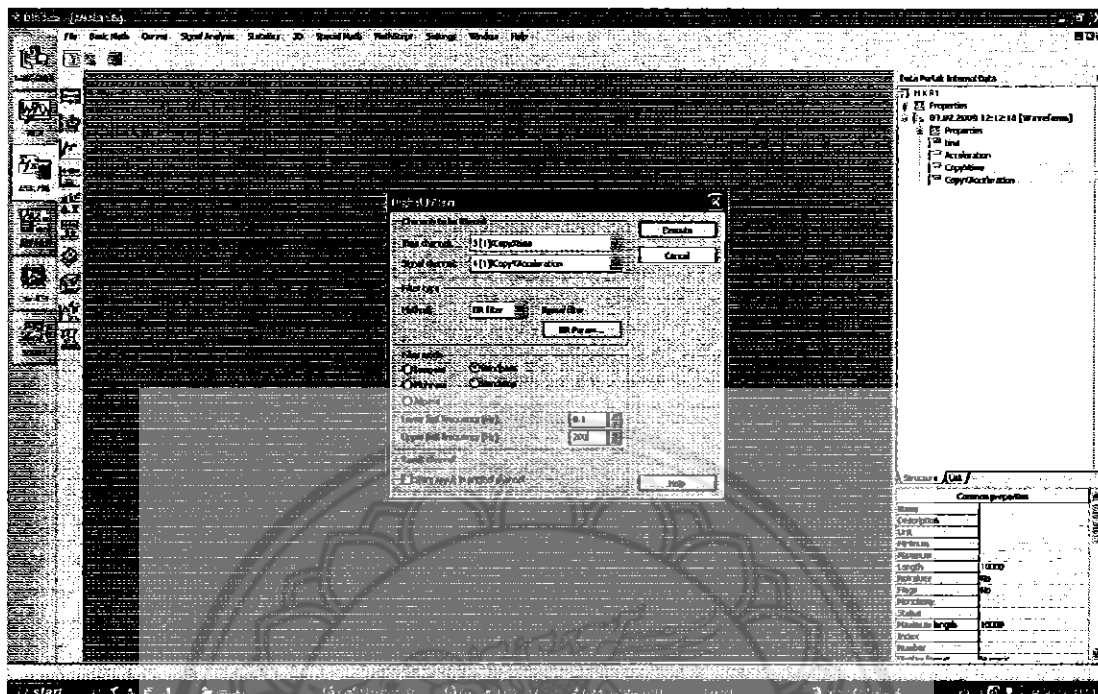
รูปที่ 3.7 แสดงลักษณะของข้อมูลที่นำมาเปิดโดยใช้โปรแกรม DIAdem

- เลือกช่วงข้อมูลในช่วง 10 วินาทีโดยการคลิกคำสั่ง set flag จากนั้นกด copy data point (รูปที่ 3.8)



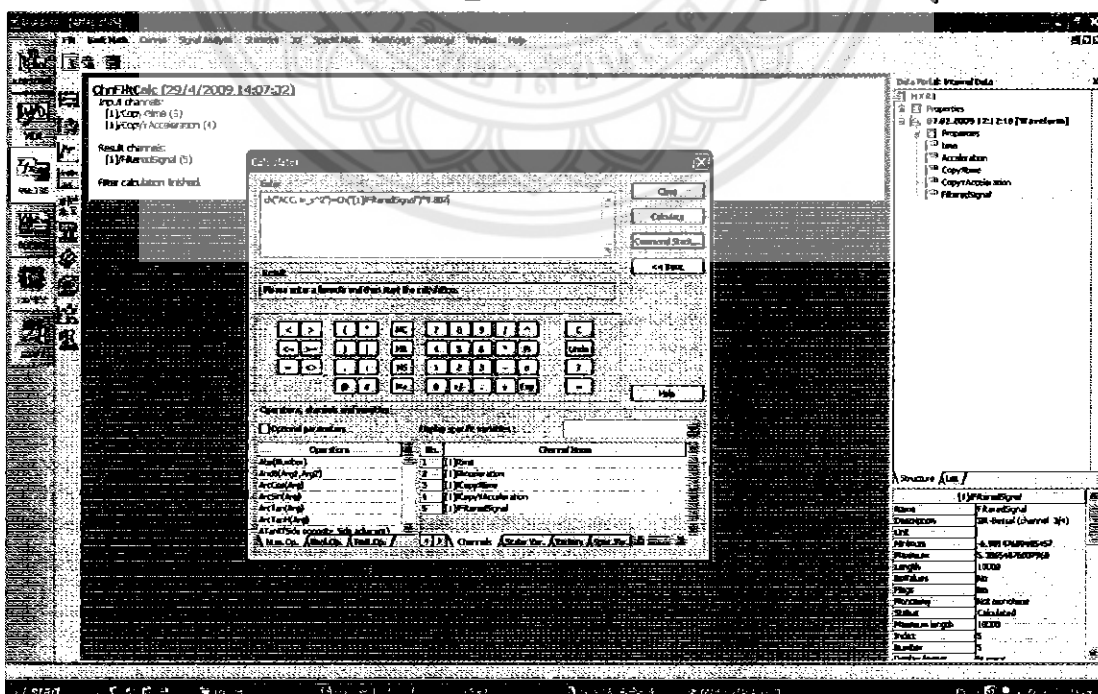
รูปที่ 3.8 แสดงช่วงข้อมูลที่ได้เลือกไว้

3) ทำการกรองข้อมูล โดยเลือก filter mode เป็น Bandpass ช่วง 0.1 – 200 Hz โดยใช้คำสั่ง Analyze แล้วเลือกคำสั่ง Signal Analysis และเลือก Digital Filter (รูปที่ 3.9)



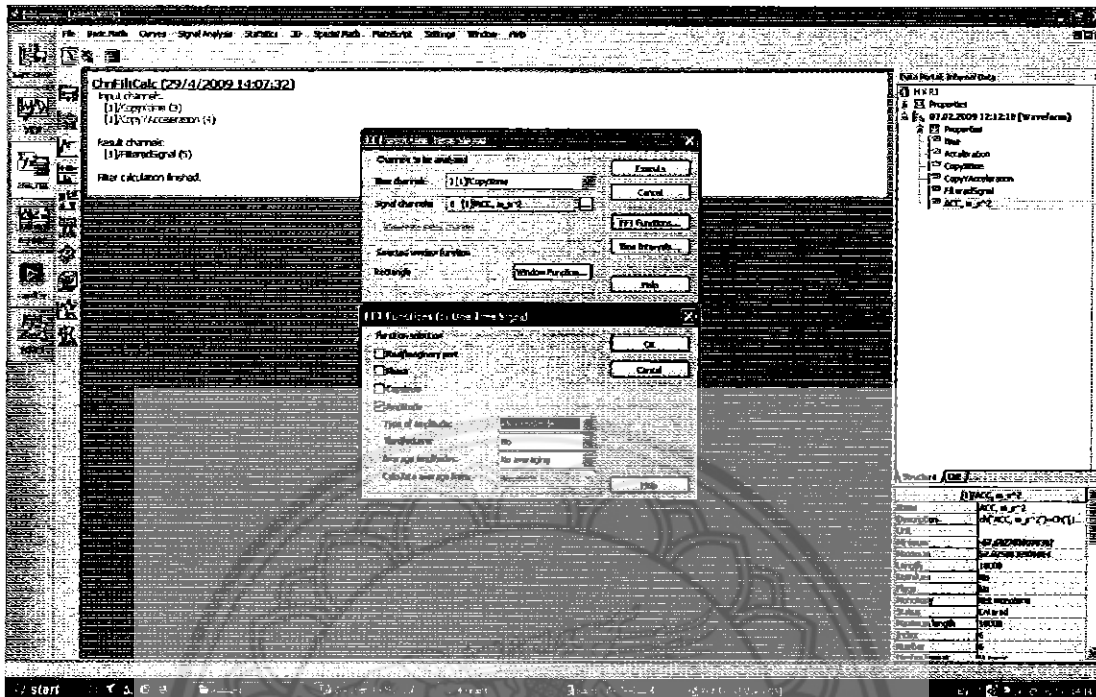
รูปที่ 3.9 แสดงการเลือกตัวกรองสัญญาณ

4) นำข้อมูลการสั่นสะเทือนที่ทำการกรองข้อมูลแล้วมาคูณด้วยค่าคงที่ ( $g = 9.807 \text{ m/s}^2$ ) โดยใช้คำสั่ง calculator ตามสมการ  $\text{ch("ACC, m_s^2")=Ch("[1]/FilteredSignal")*9.807}$  (รูปที่ 3.10)



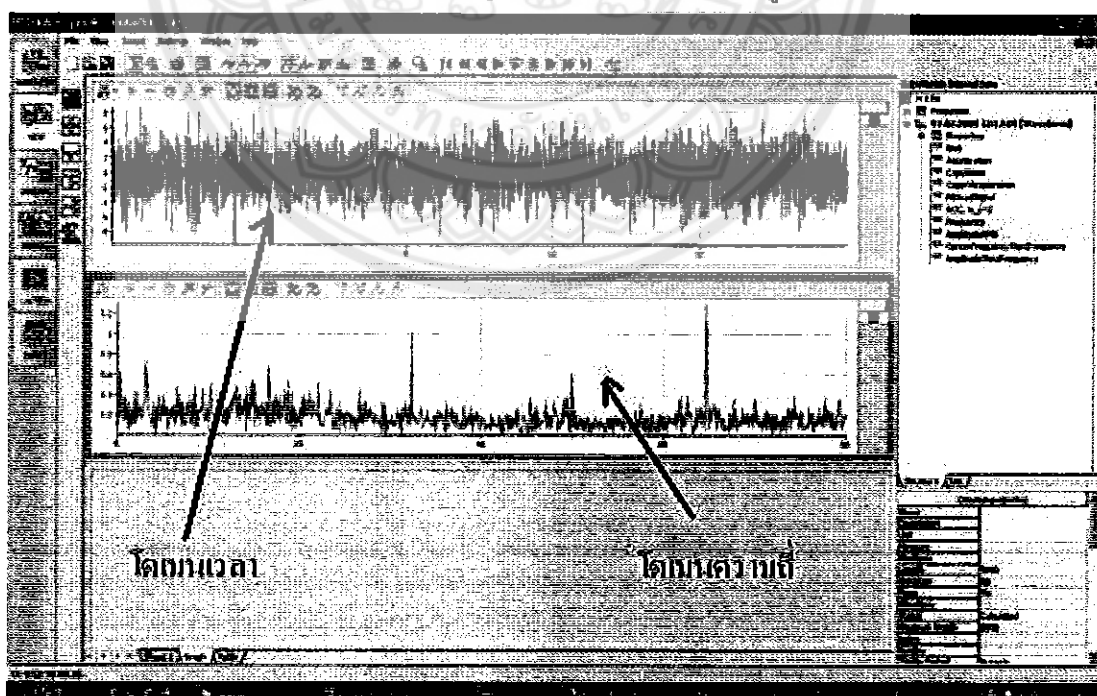
รูปที่ 3.10 แสดงการใช้คำสั่งชุดคำนวนเพื่อนำข้อมูลที่ได้มาอยู่ในรูปของความเร่ง

- 5) ทำการวิเคราะห์ข้อมูลให้อยู่ในรูปของโคลเมนความถี่โดยใช้ฟังก์ชัน FFT และเลือกใช้ Amplitude RMS โดยใช้คำสั่ง Analyze แล้วเลือกคำสั่ง Signal Analysis และเลือก FFT One Time Signal(รูปที่ 3.11)



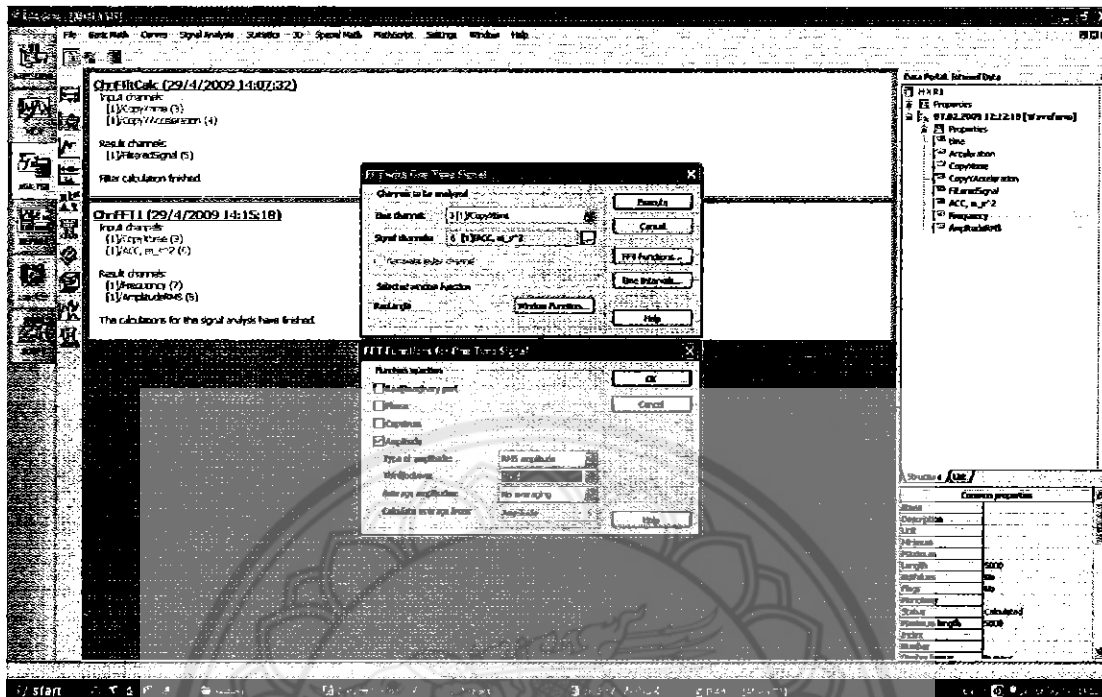
รูปที่ 3.11 แสดงถึงการเลือกแสดงผลของข้อมูลให้อยู่ในรูปของ FFT

- 6) จะได้ถ้าความถี่ (Frequency) และ Amplitude RMS เพิ่มขึ้นมา (รูปที่ 3.12)



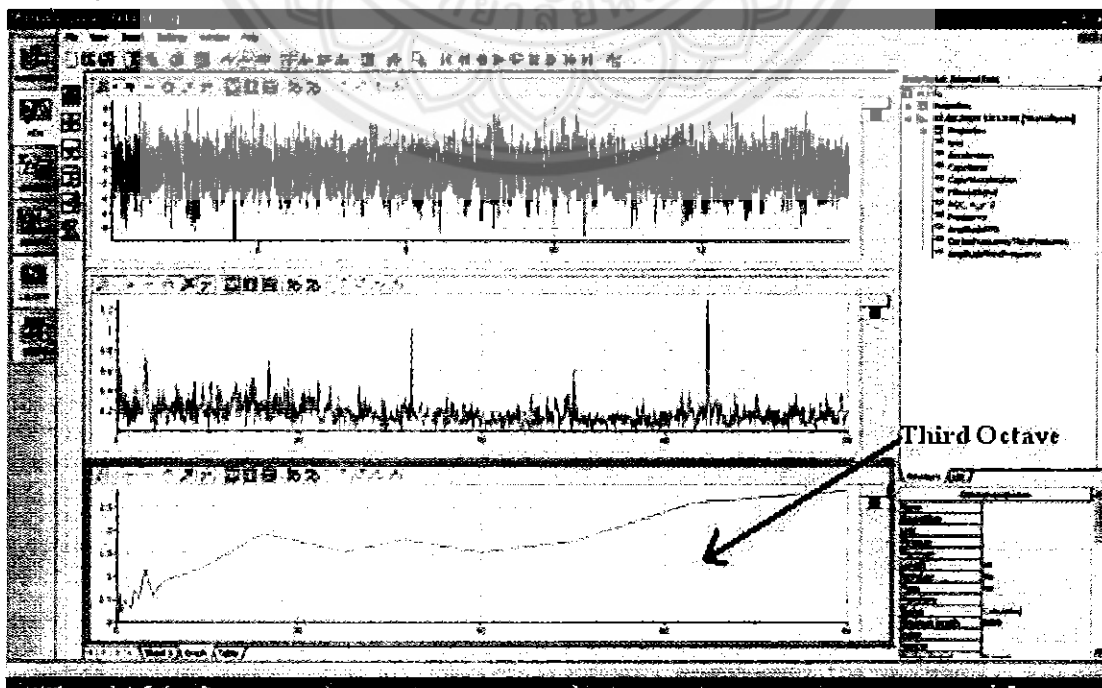
รูปที่ 3.12 แสดงถึงรูปกราฟที่ได้จาก FFT โดยกราฟแรกจะเป็นช่วงข้อมูลที่ได้เลือกไว้ใน ข้อ 2)  
และการฟันที่ 2 จะเป็นกราฟที่ได้จากการทำ FFT ในข้อ 5)

- 7) ทำการวิเคราะห์ข้อมูลให้อยู่ในรูปของ FFT โดยใช้ Amplitude RMS และ third-octave โดยใช้คำสั่ง Analyze แล้วเลือกคำสั่ง Signal Analysis และเลือก FFT One Time Signal (รูปที่ 3.13)



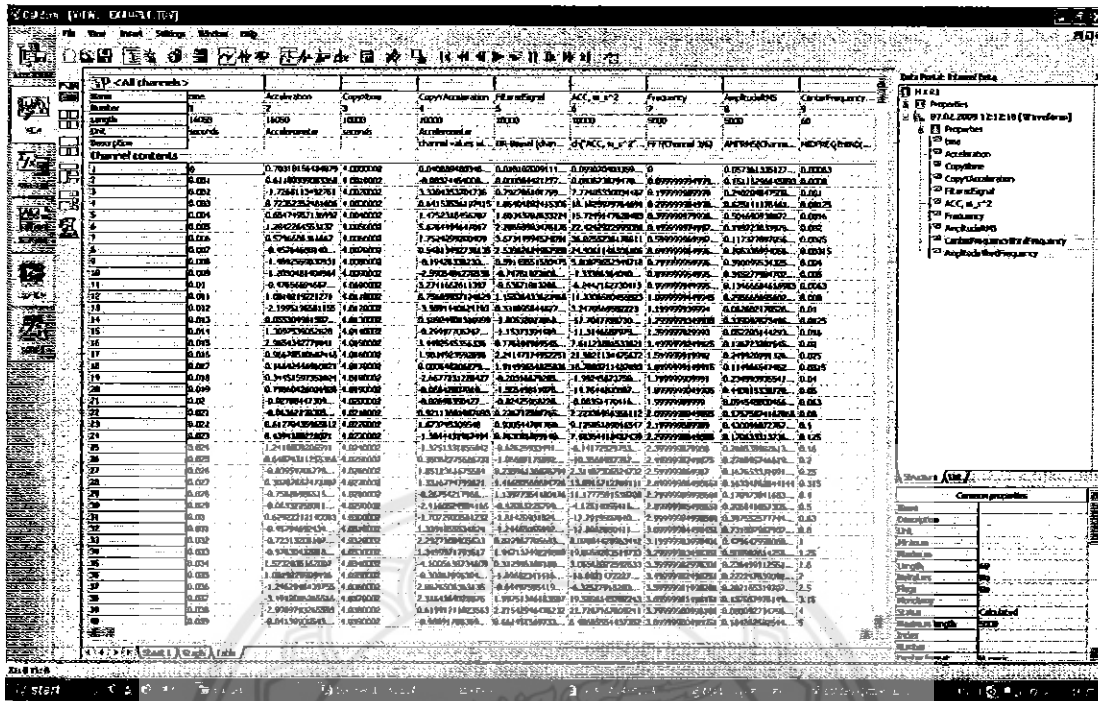
รูปที่ 3.13 แสดงถึงการเลือกแสดงผลของข้อมูลให้อยู่ในรูปของ FFT โดยได้เลือกให้แสดงผลให้อยู่ในรูปของ one-third octave band frequency

- 8) จะได้ค่า Center Frequency of one-third octave band และ Amplitude Third Frequency เพิ่มขึ้นมา (รูปที่ 3.14)



รูปที่ 3.14 แสดงถึงรูปกราฟที่เพิ่มขึ้นมาหลังจากการทำ FFT ในรูปแบบของ Third Octave

### 9) ผลการทดสอบและการวิเคราะห์ต่างๆ (รูปที่ 3.15)



รูปที่ 3.15 แสดงข้อมูลต่างๆของกมในรูปของตาราง

10) นำค่า Weight factor ในช่วงความถี่ 1-80 Hz (ISO 2631/1, 1985) คูณกับค่า Amplitude Third Frequency ที่ได้จากการวิเคราะห์ลักษณะ และทำการวิเคราะห์ผลต่อไป

ตารางที่ 3.1 Weight factor (ISO 2631/1, 1985)

Frequency (Hz)	Weight factor X,Y	Weight factor Z
1.00	1.000	0.500
1.25	1.000	0.560
1.60	1.000	0.630
2.00	1.000	0.710
2.50	0.800	0.800
3.15	0.630	0.900
4.00	0.500	1.000
5.00	0.400	1.000

ตารางที่ 3.1 (ต่อ)

Frequency (Hz)	Weight factor X,Y	Weight factor Z
6.30	0.315	1.000
8.00	0.250	1.000
10.00	0.200	0.800
12.50	0.160	0.630
16.00	0.125	0.500
20.00	0.100	0.400
25.00	0.080	0.315
31.50	0.063	0.250
40.00	0.050	0.200
50.00	0.040	0.160
63.00	0.032	0.125
80.00	0.025	0.100

11) นำค่าที่ได้ไปสร้างกราฟ โดยแนวตั้งเป็นค่าความเร่ง (Acceleration rms,  $m/s^2$ ) และแกนแนวนอนเป็นค่า ความถี่ (Center frequency of one-third octave band, Hz) และวิเคราะห์หา ขีดจำกัดความเมื่อยล้า

## บทที่ 4

### ผลการทดสอบและวิเคราะห์ผล

ในบทนี้เป็นการแสดงถึงลักษณะการสั่นสะเทือนของรถไถเดินตามในแกนต่างๆ และเปรียบเทียบระหว่างก่อนปรับปรุงและหลังปรับปรุง โดยมีรายละเอียดดังต่อไปนี้

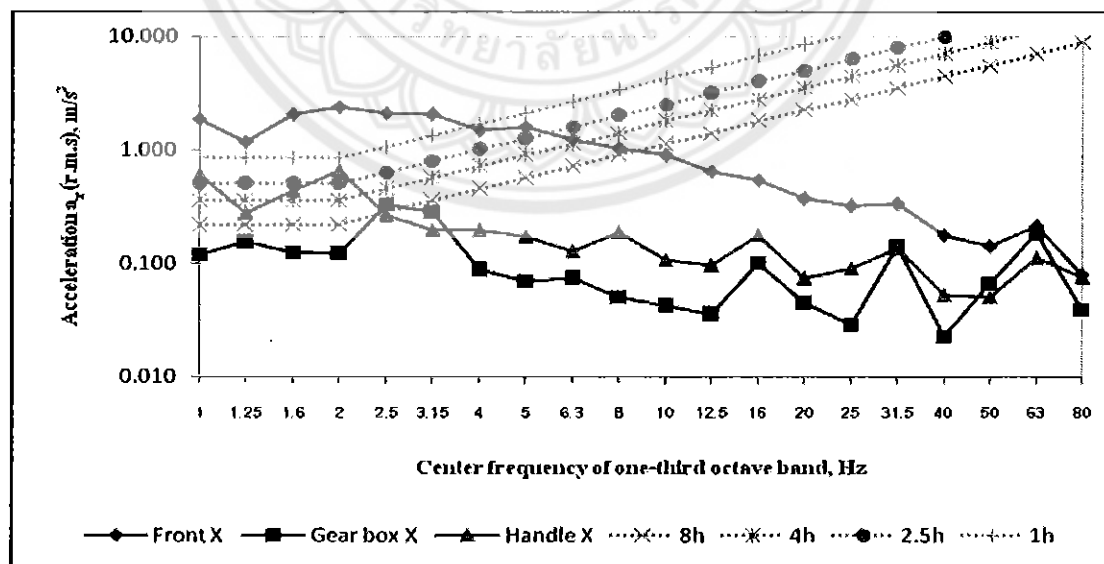
#### 4.1 ลักษณะโดยทั่วไปในการทดสอบ

การสั่นสะเทือนของรถไถเดินตามที่ทำการศึกษาจะใช้รถไถเดินตามคุณภาพตัวโครงสร้าง NC131 Standard เครื่องชนต์ RT120 (ขนาด 12 แรงม้า) โดยใช้ความเร็วบนเครื่องชนต์ที่ 2000 รอบต่อนาที ทำการทดสอบบนพื้นดินแห้ง ทึ่งขณะที่รถหยุดนิ่งและเคลื่อนที่ ซึ่งในการเคลื่อนที่ จะทำการทดสอบบนระยะทาง 20 เมตร ที่มีความเร็ว 2.8 กิโลเมตรต่อชั่วโมง (เกียร์ 1)

#### 4.2 ลักษณะการสั่นสะเทือนของรถไถเดินตามก่อนการปรับปรุง

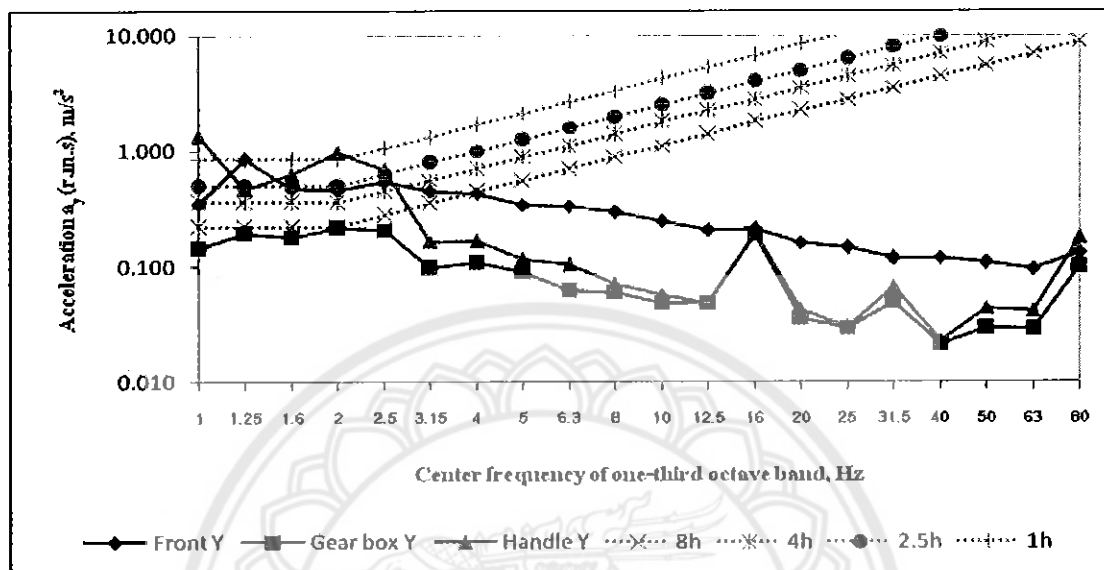
##### 4.2.1 ลักษณะการสั่นสะเทือนของรถไถเดินตามขยะหุค尼่ง

ลักษณะการสั่นสะเทือนของรถไถเดินตามขยะหุค尼่งที่ตำแหน่งเครื่องยนต์ ห้องเพิง และมือจับ ในแนวแกน x, y และ z แสดงในรูปที่ 4.1 ถึงรูปที่ 4.3 ตามลำดับ



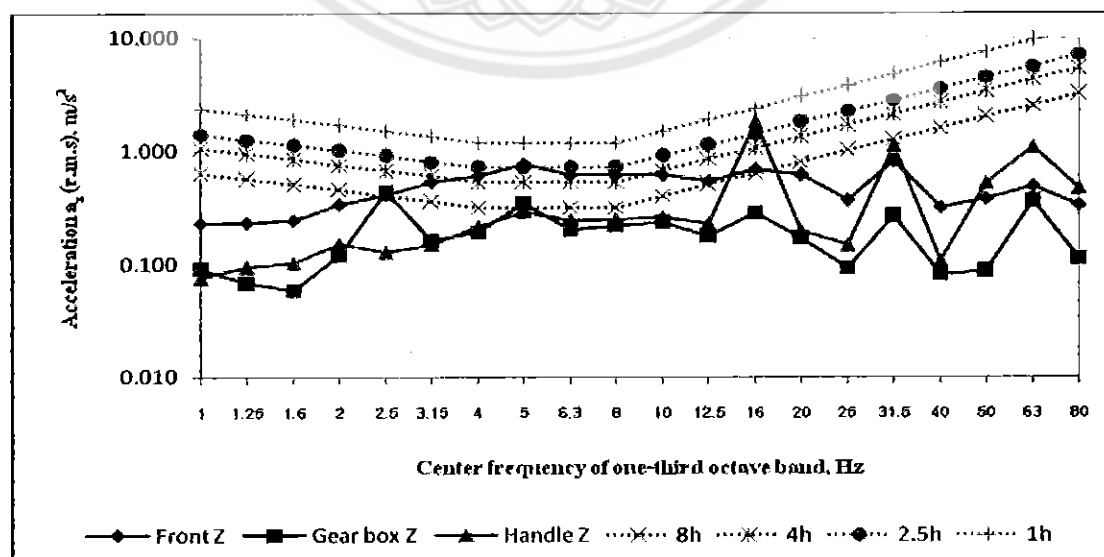
รูปที่ 4.1 ลักษณะการสั่นสะเทือนที่ตำแหน่งต่างๆในแกน x ของรถไถเดินตามหุค尼่ง

จากรูปที่ 4.1 พบว่าลักษณะการสั่นสะเทือนในแนวแกน x ที่ดำเนินการที่จะมีการสั่นสะเทือนสูงกว่าที่ดำเนินการห้องเพื่องและมีอัจฉริยะ ตามลำดับที่ทุกความถี่ และพบว่าสามารถทำงานได้ 1 ชั่วโมง ที่ความถี่ 2 Hz โดยไม่เกิดความเมื่อยล้า



รูปที่ 4.2 ลักษณะการสั่นสะเทือนที่ดำเนินการต่างๆ ในแกน y ขณะรอໄດเดินตามหยุดนิ่ง

จากรูปที่ 4.2 พบว่าลักษณะการสั่นสะเทือนในแนวแกน y ที่ความถี่ต่ำกว่า 3.15 Hz การสั่นสะเทือนที่นีอัจฉริยะมากกว่าที่ดำเนินการห้องเพื่องและมีอัจฉริยะ ตามลำดับ แต่ที่ความถี่สูงกว่า 3.15 Hz ที่ดำเนินการของเครื่องยนต์จะเกิดการสั่นสะเทือนมากกว่าดำเนินการอื่นๆ และพบว่าสามารถทำงานได้ 1 ชั่วโมงที่ความถี่ 2 Hz โดยไม่เกิดความเมื่อยล้า



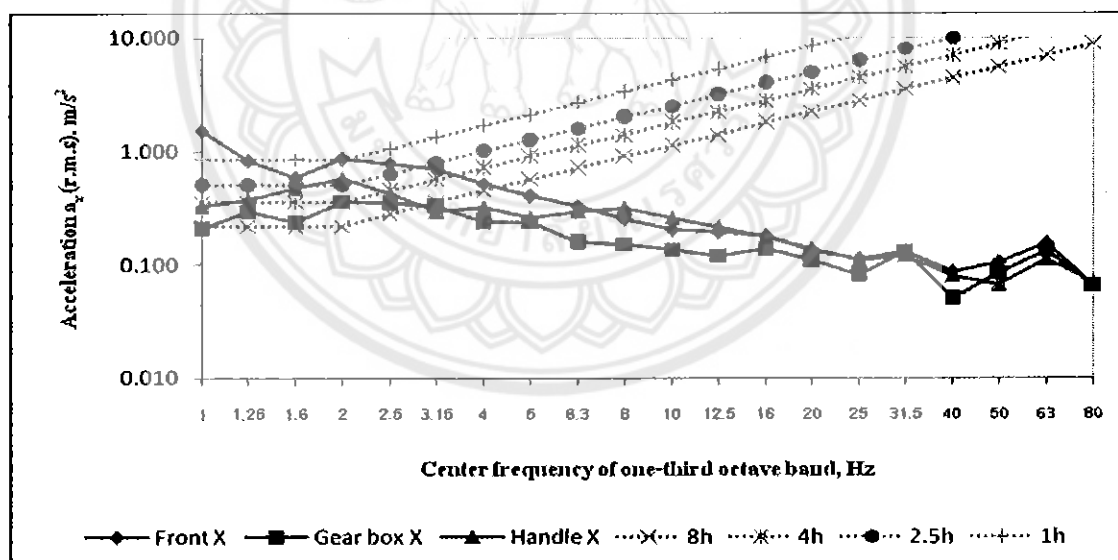
รูปที่ 4.3 ลักษณะการสั่นสะเทือนที่ดำเนินการต่างๆ ในแกน z ขณะรอໄಡเดินตามหยุดนิ่ง

จากรูปที่ 4.3 พบว่าลักษณะการสั่นสะเทือนในแนวแกน z พบว่าที่ตำแหน่งมือจับที่ความถี่ 16, 31.5 และ 63 Hz มีการสั่นสะเทือนมากกว่าที่ตำแหน่งเครื่องยนต์ และห้องเพื่อง และพบว่าสามารถทำงานได้ ช้าลงที่ความถี่ 16 Hz โดยไม่เกิดความเมื่อยล้า

จากรูปที่ 4.1 ถึงรูปที่ 4.3 พบว่าการสั่นสะเทือนในขณะที่รถໄດเดินตามขยะหนึ่งมีการส่งผ่านการสั่นสะเทือนจากการทำงานของเครื่องยนต์ แล้วส่งผ่านไปยังตำแหน่งห้องเพื่อง และชุดมือจับ โดยเฉพาะอย่างยิ่งที่ความถี่ 16 , 31.5 และ 63 Hz ซึ่งตรงกับความถี่ของการเคลื่อนที่ของลูกสูบคือ 2000 รอบต่อนาที โดยทั่วไปแล้วรถໄດเดินตามขยะหนึ่งจะปล่อยให้ทำงานแบบอิสระ โดยไม่มีคนไปทำงานด้วย แต่ถ้ามีคนจับมือจับรถໄດเดินตามด้วยจะสามารถทำงานได้ไม่เกิน 1 ชั่วโมงโดยไม่เกิดความเมื่อยล้า

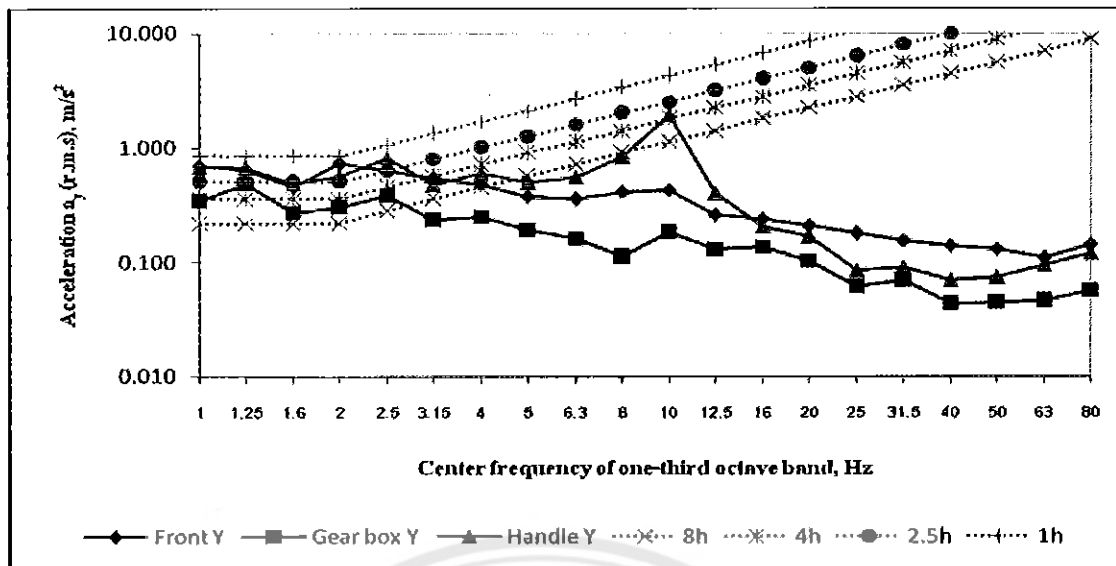
#### 4.2.2 ลักษณะการสั่นสะเทือนของรถໄไดเดินตามขยะเคลื่อนที่

ลักษณะการสั่นสะเทือนของรถໄไดเดินตามขยะเคลื่อนที่ที่ตำแหน่ง เครื่องยนต์ ห้องเพื่อง และมือจับ ในแนวแกน x, y และ z แสดงในรูปที่ 4.4 ถึงรูปที่ 4.6 ตามลำดับ



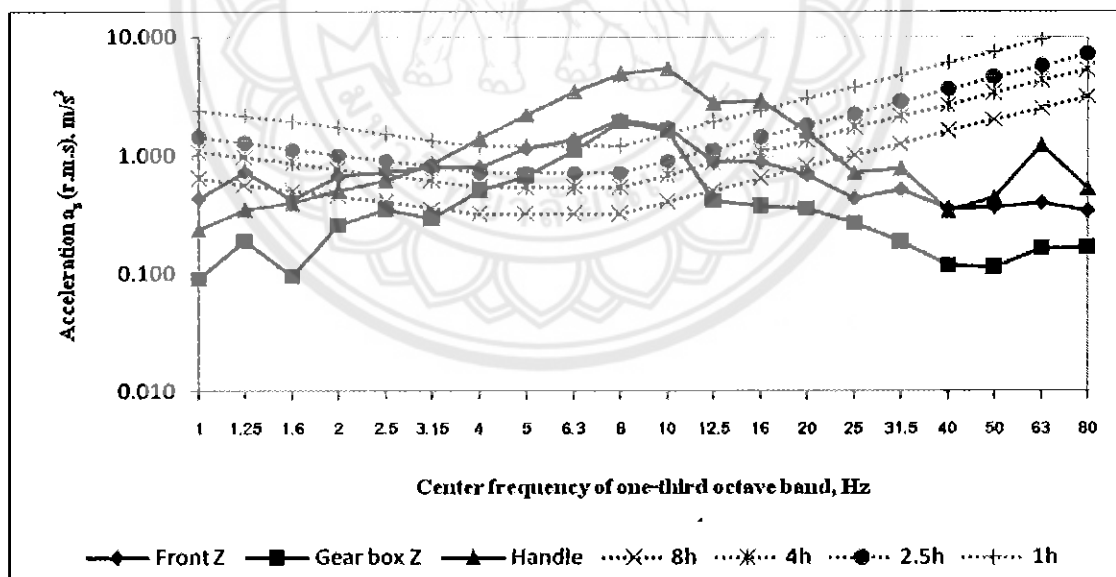
รูปที่ 4.4 ลักษณะการสั่นสะเทือนที่ตำแหน่งต่างๆในแกน x ขณะรถໄไดเดินตามเคลื่อนที่ 2.8 km/h

จากรูปที่ 4.4 ลักษณะการสั่นสะเทือนในแนวแกน x พบว่าที่ตำแหน่งเครื่องยนต์ ห้องเพื่อง และมือจับเกิดมาจากการเคลื่อนที่ขึ้นของลูกสูบ และพบว่าสามารถทำงานได้ ช้าลงที่ความถี่ 2 Hz โดยไม่เกิดความเมื่อยล้า



รูปที่ 4.5 ลักษณะการสั่นสะเทือนที่ตำแหน่งต่างๆในแกน y ขณะรถໄ�回เดินตามเกลื่อนที่ 2.8 km/h

จากรูปที่ 4.5 ลักษณะการสั่นสะเทือนในแนวแกน y พบร่วมกันที่มีจังหวะสั่นสะเทือนสูงกว่าที่ตำแหน่งเครื่องยนต์ และห้องเพื่องที่ความถี่ 8 – 10 Hz ซึ่งเป็นผลมาจากการดึงดูดของล้อเหล็กที่มีการเคลื่อนที่ด้วยความเร็ว 2.8 กิโลเมตรต่อชั่วโมง และสามารถทำงานได้ 1 ชั่วโมง โดยไม่เกิดความเมื่อยล้า



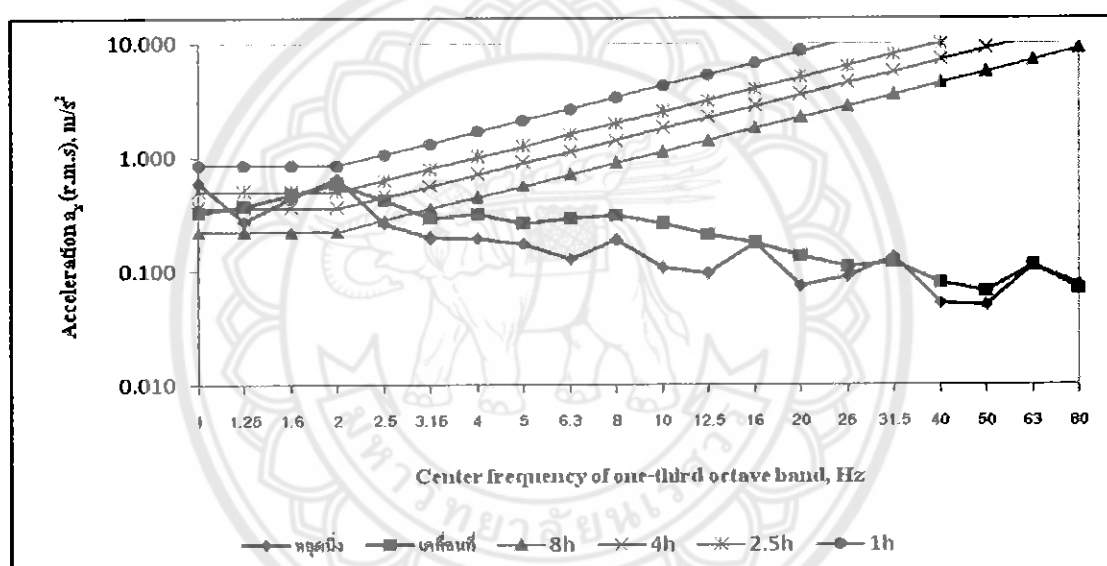
รูปที่ 4.6 ลักษณะการสั่นสะเทือนที่ตำแหน่งต่างๆในแกน z ขณะรถໄ�回เดินตามเกลื่อนที่ 2.8 km/h

จากรูปที่ 4.6 ลักษณะการสั่นสะเทือนในแนวแกน z พบร่วมกันที่ความถี่สูงกว่า 3.15 Hz ที่มีจังหวะสั่นสะเทือนสูงกว่าที่ตำแหน่งเครื่องยนต์ และห้องเพื่องโดยเฉพาะอย่างขึ้นที่ความถี่ 8 – 10 Hz และสามารถทำงานได้ไม่เกิน 1 ชั่วโมง โดยไม่เกิดความเมื่อยล้า

จากรูปที่ 4.4 ถึงรูปที่ 4.6 พบว่าการสั่นสะเทือนของรถໄດเดินตามขยะเคลื่อนที่พบว่ามีการส่งผ่านการสั่นสะเทือนเพิ่มขึ้นมาจากการໄດเดินตามขยะหนึ่งโดยเฉพาะอย่างยิ่งที่ความถี่ 8 – 10 Hz ซึ่งตรงกับความถี่ของการเคลื่อนที่ของล้อเหล็กจำนวน 16 ชีที่ความเร็ว 2.8 กิโลเมตรต่อชั่วโมง ดังนั้นในการทำงานในขณะที่รถໄດเดินตามมีการเคลื่อนที่จะสามารถทำงานได้ไม่เกิน 1 ชั่วโมงโดยไม่เกิดความเมื่อยล้า

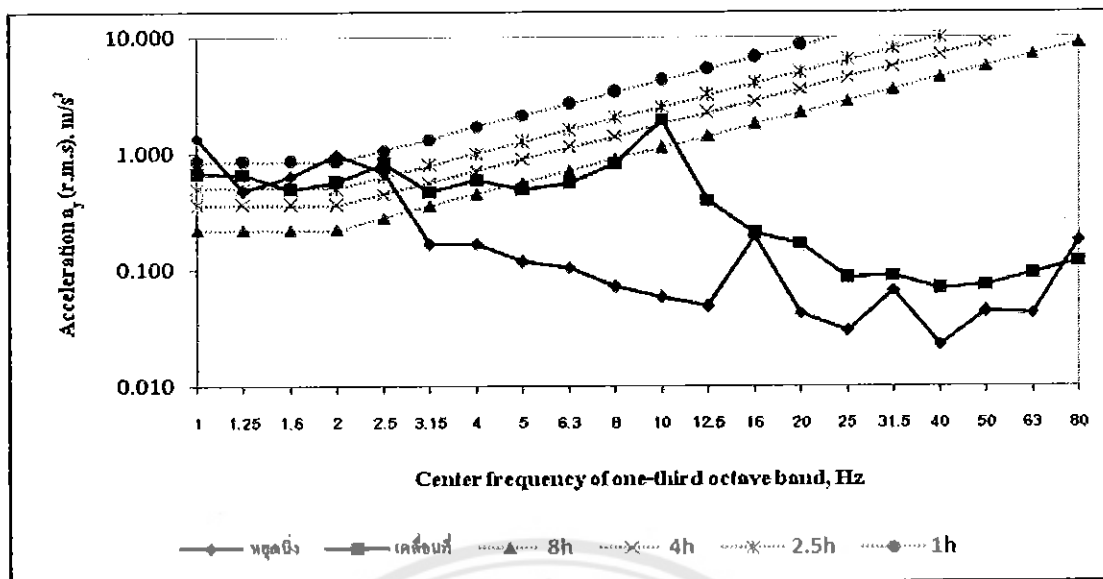
#### 4.2.3 ลักษณะการสั่นสะเทือนของรถໄດเดินตามระหว่างหยุดนิ่งและเคลื่อนที่

ลักษณะการสั่นสะเทือนของรถໄດเดินตามระหว่างหยุดนิ่งและเคลื่อนที่ที่ดำเนินการมือจับ ในแนวแกน x, y และ z แสดงในรูปที่ 4.7 ถึงรูปที่ 4.9 ตามลำดับ



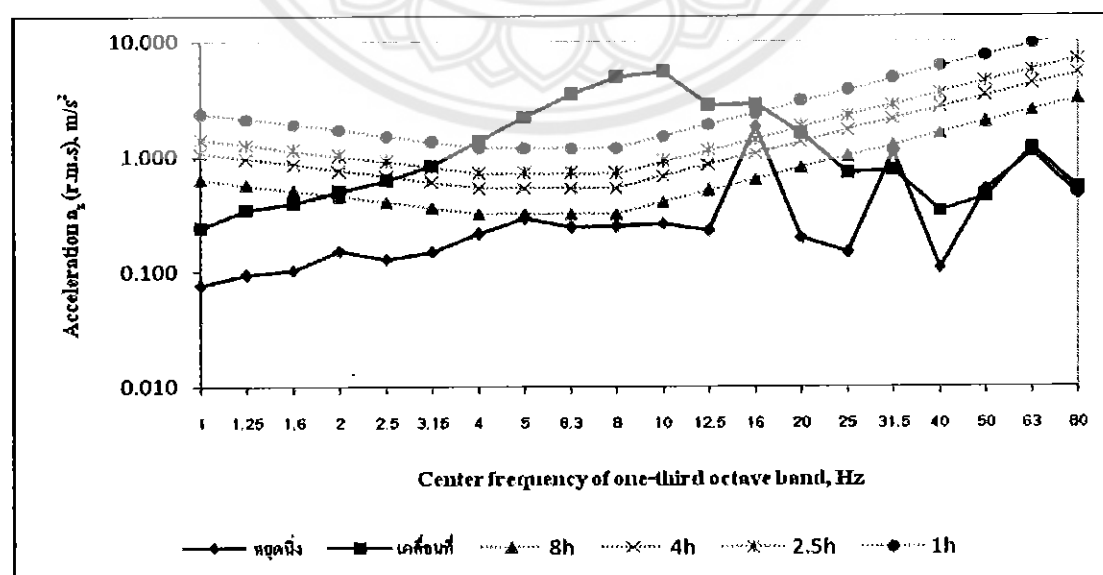
รูปที่ 4.7 ลักษณะการสั่นสะเทือนของรถໄດเดินตามขยะหนึ่งและเคลื่อนที่ที่ดำเนินการมือจับในแนวแกน x

จากรูปที่ 4.7 ลักษณะการสั่นสะเทือนในแนวแกน x ที่มือจับของรถໄດเดินตามขยะเคลื่อนที่มีค่าการสั่นสะเทือนสูงกว่าขยะหนึ่งที่ทุกความถี่ และพบว่าค่าของความเร็วมีการเพิ่มขึ้นอย่างรวดเร็วขณะรถໄດเดินตามขยะหนึ่งที่ความถี่ 16, 31.5 และ 63 Hz ซึ่งตรงกับความถี่ของการเคลื่อนที่ของลูกสูบที่ความเร็ว 2000 รอบต่อนาที ดังนั้นแสดงให้เห็นว่ามีการส่งผ่านการสั่นสะเทือนจากการทำงานของลูกสูบที่เครื่องยนต์ไปสู่ห้องเพื่องและส่งผ่านไปที่มือจับ



รูปที่ 4.8 ลักษณะการสั่นสะเทือนของรถໄດเดินตามขยะดินเจี้ยนและเคลื่อนที่ที่ดำเนินการในแนวแกน y

จากรูปที่ 4.8 ลักษณะการสั่นสะเทือนในแนวแกน y ที่มีอับของรถໄไดเดินตามขยะดินนิ่ง พบร่วมกับความถี่ 16, 31.5 และ 63 Hz ซึ่งตรงกับการทำงานของถูกสูบที่เครื่องชนต์ และขณะรถໄไดเดินตามเคลื่อนที่พบว่าความเร่งนีการเพิ่มขึ้นอย่างรวดเร็ว ซึ่งตรงกับความถี่ของการเคลื่อนที่ของล้อเหล็กจำนวน 16 ซึ่งความเร็ว 2.8 กิโลเมตรต่อชั่วโมง ดังนั้นแสดงให้เห็นว่ามีการส่งผ่านการสั่นสะเทือนจาก การทำงานของถูกสูบที่เครื่องชนต์และจากล้อเหล็กบนรถໄไดเดินตามเคลื่อนที่ไปสู่ห้องไฟองและ ส่งผ่านไปที่มีอับ



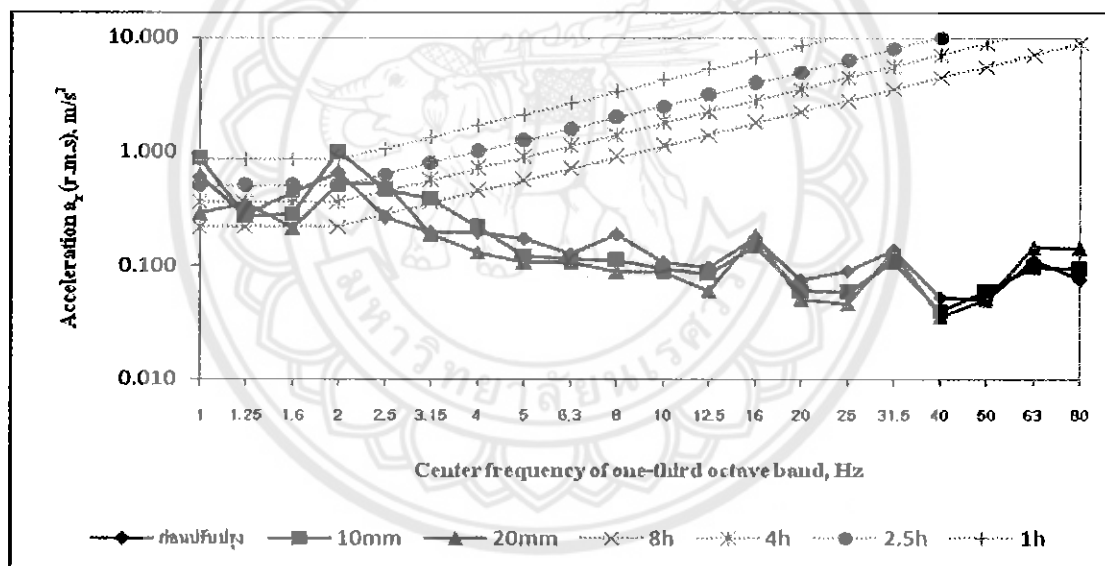
รูปที่ 4.9 ลักษณะการสั่นสะเทือนของรถໄไดเดินตามขยะดินเจี้ยนและเคลื่อนที่ที่ดำเนินการในแนวแกน z

จากรูปที่ 4.9 ลักษณะการสั่นสะเทือนในแนวแกน z ที่มีอัจฉริยะเดินตามขยะหุคนิ่ง พบร่วมกับความถี่ 16, 31.5 และ 63 Hz ซึ่งตรงกับการทำงานของลูกสูบที่เครื่องยนต์ และขณะรถໄດเดินตามเคลื่อนที่พบว่าที่ความถี่ 8-10 Hz มาจากการเคลื่อนที่ของล้อเหล็ก ดังนั้นแสดงให้เห็นว่ามีการส่งผ่านการสั่นสะเทือนจากการทำงานของลูกสูบที่เครื่องยนต์และจากล้อเหล็กขณะรถໄດเดินตามเคลื่อนที่ไปสู่ห้องเพื่องและส่งผ่านไปสู่มือจับ

#### 4.3 ลักษณะการสั่นสะเทือนของรถໄດเดินตามที่มีอัจฉริยะหุคนิ่ง

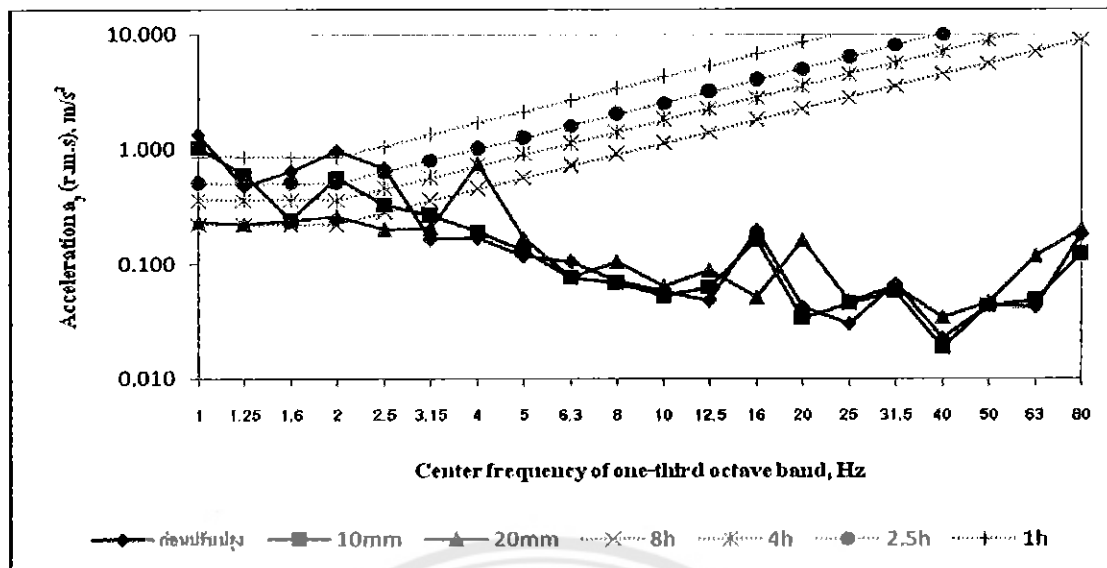
##### 4.3.1 การสั่นสะเทือนของรถໄດเดินตามที่มีอัจฉริยะหุคนิ่ง

ลักษณะการสั่นสะเทือนของรถໄດเดินตามก่อนปรับปรุงและหลังปรับปรุงที่มีอัจฉริยะหุคนิ่งที่ตำแหน่ง เครื่องยนต์ ห้องเพื่อง และมือจับ ในแนวแกน x, y และ z แสดงในรูปที่ 4.10 ถึงรูปที่ 4.12 ตามลำดับ



รูปที่ 4.10 ลักษณะการสั่นสะเทือนก่อนปรับปรุงและหลังปรับปรุงที่ตำแหน่งมือจับ  
ในแกน x ในขณะรถໄດเดินตามขยะหุคนิ่ง

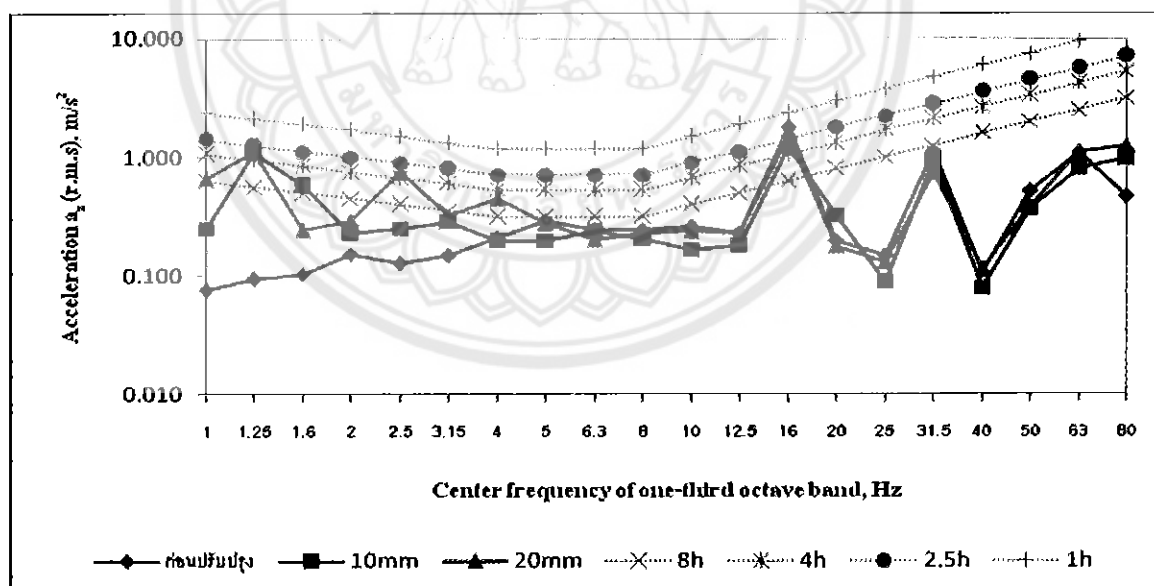
จากรูปที่ 4.10 ลักษณะการสั่นสะเทือนในแนวแกน x พบร่วมกับหลังปรับปรุง เมื่อทำการติดตั้งแผ่นยางหนานานา 20 มิลลิเมตรสามารถลดการสั่นสะเทือนลงได้ และสามารถทำงานได้ 2.5 ชั่วโมงโดยไม่เกิดความเมื่อยล้า



รูปที่ 4.11 ลักษณะการสั่นสะเทือนก่อนปรับปรุงและหลังปรับปรุงที่ตำแหน่งมือจับ

ในแกน y ในขณะรอดได้เดินตามหยุดนิ่ง

จากรูปที่ 4.11 ลักษณะการสั่นสะเทือนในแนวแกน y พบร่วมกันว่าเมื่อทำการติดตั้งแผ่นยางหนาขนาด 20 มิลลิเมตรสามารถลดการสั่นสะเทือนลงได้ และสามารถทำงานได้ 4 ชั่วโมงโดยไม่เกิดความเมื่อยล้า



รูปที่ 4.12 ลักษณะการสั่นสะเทือนก่อนปรับปรุงและหลังปรับปรุงที่ตำแหน่งมือจับ

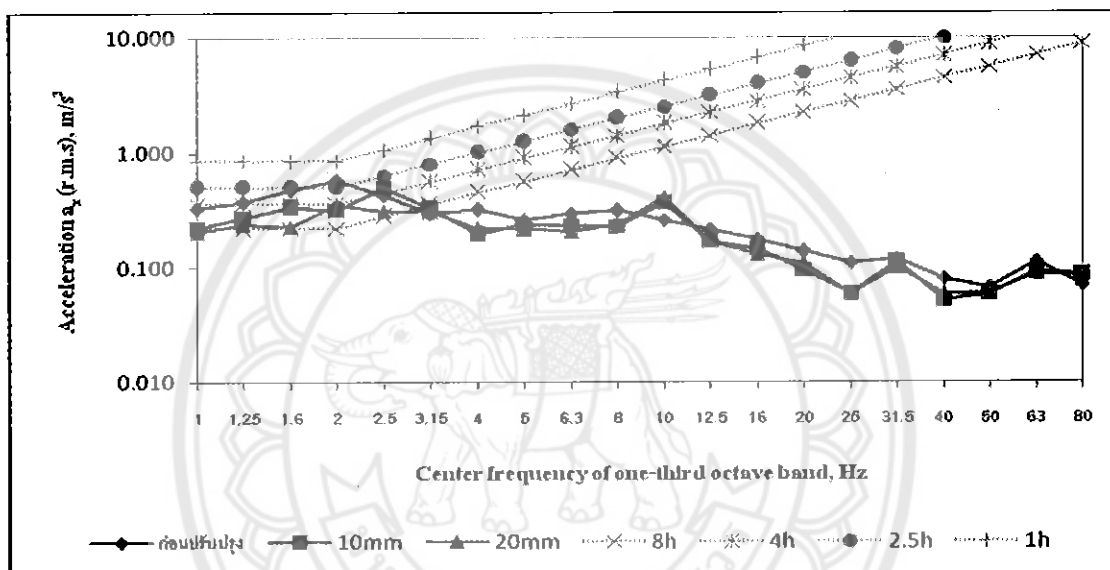
ในแกน z ในขณะรอดได้เดินตามหยุดนิ่ง

จากรูปที่ 4.12 ลักษณะการสั่นสะเทือนในแนวแกน z พบร่วมกันว่าหลังทำการติดตั้งแผ่นยางทั้ง 2 ขนาดไม่สามารถลดการสั่นสะเทือนลงได้

จากรูปที่ 4.10 ถึงรูปที่ 4.12 พบว่าเมื่อทำการติดตั้งแผ่นยางสามารถลดการสั่นสะเทือนในแนวแกน x และ y ลงได้ แต่ในแนวแกน z ไม่สามารถลดการสั่นสะเทือนลงได้

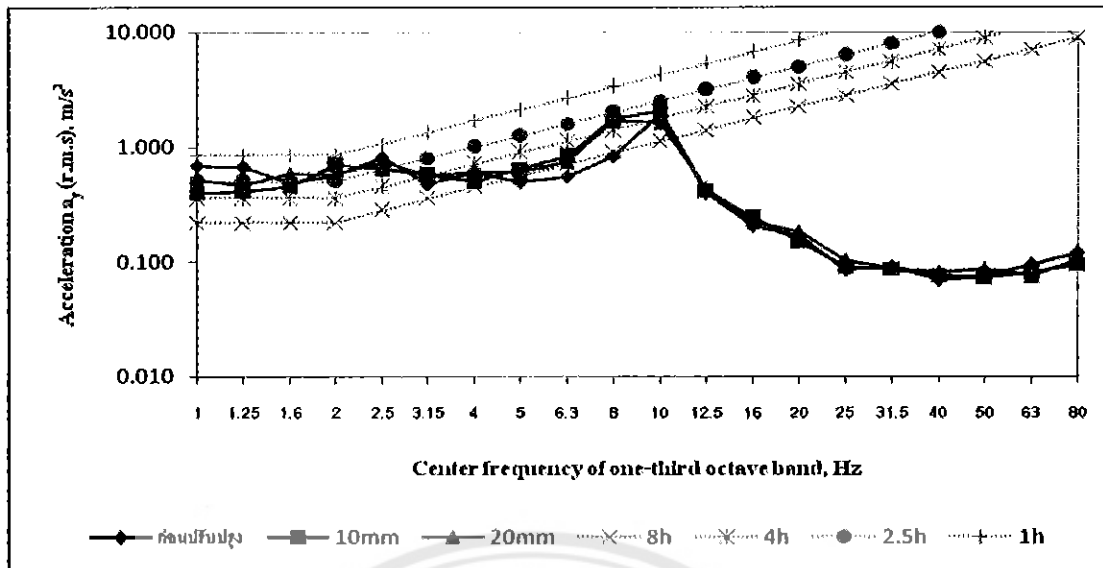
#### 4.3.2 การสั่นสะเทือนของรถໄโดยเดินตามที่มีอัจฉริยะเคลื่อนที่

ลักษณะการสั่นสะเทือนของรถໄโดยเดินตามก่อนปรับปรุงและหลังปรับปรุงที่มีอัจฉริยะเคลื่อนที่ที่ตำแหน่งเครื่องยนต์ ห้องเพื่อง และมือขับ ในแนวแกน x, y และ z แสดงในรูปที่ 4.13 ถึงรูปที่ 4.15 ตามลำดับ



รูปที่ 4.13 ลักษณะการสั่นสะเทือนก่อนปรับปรุงและหลังปรับปรุงที่ตำแหน่งมือขับ  
ในแกน x ขณะรถໄโดยเดินตามเคลื่อนที่ 2.8 km/h

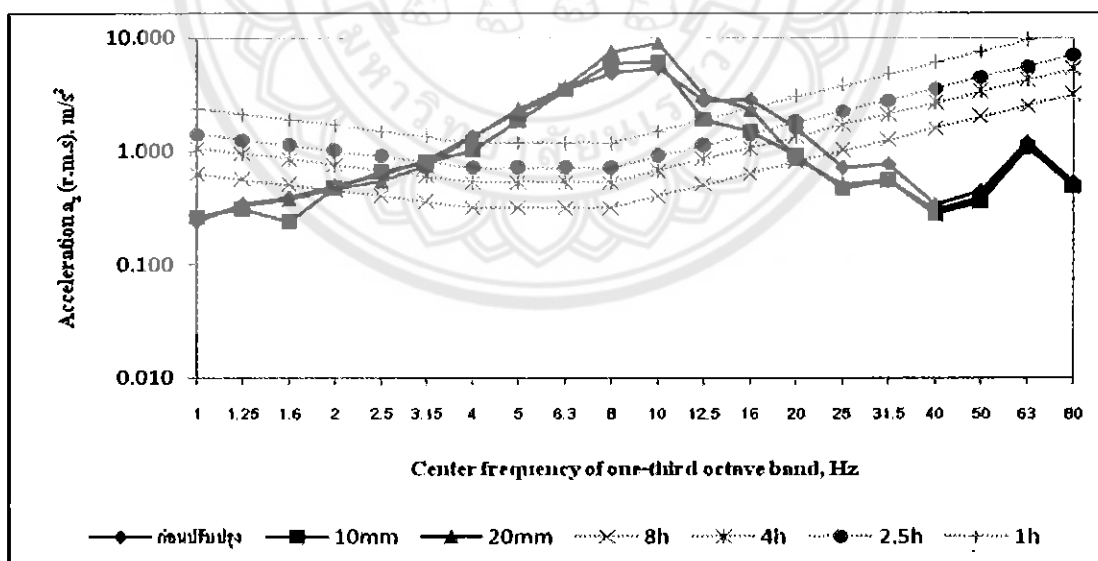
จากรูปที่ 4.13 ลักษณะการสั่นสะเทือนในแนวแกน x พบว่าเมื่อทำการติดตั้งแผ่นยางรองหนา 10 และ 20 มิลลิเมตร สามารถลดการสั่นสะเทือนได้ และยางรองหนา 20 มิลลิเมตร สามารถทำงานได้ 4 ชั่วโมงโดยไม่เกิดความเมื่อยล้า



รูปที่ 4.14 ลักษณะการสั่นสะเทือนก่อนปรับปรุงและหลังปรับปรุงที่ต่ำແහນ່ມືອຈັນ

ໃນแกນ y ຂະວະຮົດໄກເດີນຕາມເຄລືອນທີ 2.8 km/h

จากรูปที่ 4.14 ພບວ່າລักษณะการสั่นสะเทือนໃນແນວແກນ y ທັງກ່ອນປັບປຸງແລະຫລັງປັບປຸງເປັນໄປໃນທຶນທາງເດືອກກັນ ຜຶ່ງແສດງໃຫ້ເຫັນວ່າໄມ້ສາມາດຄວບຄາມສັ່ນສະເໜີນໄດ້ ນັ້ນຄືສາມາດທຳຈານໄດ້ 1 ຊົ່ວໂມງ ໂດຍໄນ້ກົດຄວາມນໍ້ອຍດ້າ



รูปที่ 4.15 ลักษณะการสั่นสะເໜີນກ່ອນປັບປຸງແລະຫລັງປັບປຸງທີ່ຕ່າແຫນ່ມືອຈັນ

ໃນແກນ z ຂະວະຮົດໄກເດີນຕາມເຄລືອນທີ 2.8 km/h

จากรูปที่ 4.15 พนว่าลักษณะการสั่นสะเทือนในแนวแกน z ทึ้งก่อนปรับปรุงและหลังปรับปรุง เป็นไปในทิศทางเดียวกัน ซึ่งแสดงให้เห็นว่าไม่สามารถลดการสั่นสะเทือนได้ และสามารถทำงานได้ไม่เกิน 1 ชั่วโมง โดยไม่เกิดความเมื่อยล้า

จากรูปที่ 4.13 ถึงรูปที่ 4.15 พนว่าในขณะรถไถเดินตามเกลื่อนที่หลังทำการปรับปรุง โดยใช้ แผ่นยางรองหนา 20 มิลลิเมตร (ค่าความแข็งชอร์ A = 66.1) สามารถลดการสั่นสะเทือนในแนวแกน x ได้แต่ในแนวแกน y และ z ไม่สามารถลดการสั่นสะเทือนได้

**ตารางที่ 4.1** แสดงความสามารถในการทำงานของแต่ละแนวแกนทั้งก่อนและหลังปรับปรุง

การทดสอบ	สถานะของรถไถเดิน ตาม	แกน	ความสามารถในการ ทำงาน
ไม่ใส่แผ่นยาง	หยุดนิ่ง	x	1 ชั่วโมง
		y	1 ชั่วโมง
		z	1 ชั่วโมง
	เคลื่อนที่	x	1 ชั่วโมง
		y	1 ชั่วโมง
		z	1 ชั่วโมง
ติดตั้งแผ่นยางหนา 10 มิลลิเมตร	หยุดนิ่ง	x	1 ชั่วโมง
		y	1 ชั่วโมง
		z	1 ชั่วโมง
	เคลื่อนที่	x	2.5 ชั่วโมง
		y	1 ชั่วโมง
		z	1 ชั่วโมง

ตารางที่ 4.1 (ต่อ)

การทดสอบ	สถานะของรถໄຄเดินตาม	แกน	ความสามารถในการทำงาน
ติดตั้งแผ่นยางหนา 20 มิลลิเมตร	หดตึง	x	2.5 ชั่วโมง
		y	4 ชั่วโมง
		z	1 ชั่วโมง
	เคลื่อนที่	x	4 ชั่วโมง
		y	1 ชั่วโมง
		z	1 ชั่วโมง

จากตารางที่ 4.1 พนว่าก่อนปรับปูรุงและหลังปรับปูรุงเมื่อติดตั้งแผ่นยางรองหนาขนาด 10 มิลลิเมตร จะสามารถทำงานได้ 1 ชั่วโมงทุกแนวแกนทั้งในขณะหดตึงและเคลื่อนที่โดยไม่เกิดความเมื่อยล้า ยกเว้นแกน x ขณะรถໄຄเดินตามเคลื่อนที่และติดตั้งแผ่นยางรองหนา 10 มิลลิเมตรสามารถทำงานได้ 2.5 ชั่วโมง แต่เมื่อติดตั้งแผ่นยางหนาขนาด 20 มิลลิเมตร สามารถลดการสั่นสะเทือนได้ในแนวแกน x และสามารถทำงานได้ 4 ชั่วโมงโดยไม่เกิดความเมื่อยล้า แต่แกน y และแกน z ไม่สามารถลดการสั่นสะเทือนได้ และสามารถทำงานได้ 1 ชั่วโมง ซึ่งเท่ากับก่อนปรับปูรุง

## บทที่ 5

### สรุปผล

#### 5.1 สรุปผลการทดลอง

จากการศึกษาและทดลองเพื่อผลการสั่นสะเทือนของรถไถเดินตาม KUBOTA รุ่น RT-120 โครงรถรุ่น NC 131 – standard ในการทดลอง ได้ใช้ความเร็วรองของเครื่องยนต์ที่ 2000 รอบต่อนาที และ ใช้ความเร็ว 2.8 กิโลเมตรต่อชั่วโมง (เกียร์ 1)

จากการทดลองพบว่ามีการส่งผ่านการสั่นสะเทือนจากการทำงานของเครื่องยนต์ไปสู่ห้องเพื่อง และมีจับที่ความถี่ 16 , 31.5 และ 63 Hz ซึ่งตรงกับความถี่ของการเคลื่อนที่ของลูกสูบ (2000 รอบต่อนาที) แต่ในขณะรถไถเดินตามเกลื่อนที่ (ความเร็ว 2.8 กิโลเมตรต่อชั่วโมง) จะมีการส่งผ่านการสั่นสะเทือนมากล้อไปสู่ห้องเพื่องและมีจับที่ความถี่ 8 -10 Hz

เมื่อทำการปรับปรุงโดยการติดตั้งแผ่นยางหนานน้ำด 10 มิลลิเมตร (ค่าความแข็งชอร์ A = 66.1) และ 20 มิลลิเมตร (ค่าความแข็งชอร์ A = 64.5) ระหว่างห้องเพื่องกับชุดมือจับ พบร่วมแผ่นยางรองขนาด 20 มิลลิเมตรสามารถลดการสั่นสะเทือนที่มีจับขณะรถไถเดินตามเกลื่อนที่ และเพิ่มชั่วโมงการทำงานได้ในแนวแกน x สามารถทำงานได้ 4 ชั่วโมงโดยไม่เกิดความเมื่อยล้าแต่ในแนวแกน y และแนวแกน z สามารถทำงานได้ไม่เกิน 1 ชั่วโมง

#### 5.2 ปัญหาในการทำโครงการ

1. อุปกรณ์วัดความเร่ง (Accelerometer) มีจำนวนจำกัด ทำให้มีความยุ่งยากในการทดลอง
2. สถานที่ในการทดลองจำกัด เพราะเนื่องจากอุปกรณ์ที่ใช้ต้องใช้ไฟฟ้า

#### 5.3 ข้อเสนอแนะและแนวทางพัฒนา

1. อุปกรณ์วัดความเร่ง (Accelerometer) ที่ใช้ในการทดลองควรมีอย่างน้อย 3 ตัวหรือ 9 ตัว เพื่อประยุกต์เวลาในการทดลองและให้ได้ค่าที่ถูกต้องมากที่สุด
2. ควรมีการทดลองใช้แผ่นยางที่มีคุณภาพที่แตกต่างกัน

## เอกสารอ้างอิง

กนต์ธ สำนิปัรสาสน์ (2545). การสั่นทางกล. เพียร์สัน เอ็คคูเคนชั่น อินโคไซน่า, กรุงเทพมหานคร  
บัญญัติ เศรษฐบุรี (2531). รถแทรกเตอร์ และเครื่องมือทุนแรงในการเกษตร. ภาควิชาเกษตรกรรม วิทยา  
เกษตร มหาวิทยาลัยเกษตรศาสตร์.

สำนักงานเศรษฐกิจการเกษตร (2544). กระทรงเกณฑ์และสหกรณ์ สถิติการเกษตรของประเทศไทย  
ไทย ปีการเพาะปลูก 2542/2543.

American Society for Testing and Materials (2000). ASTM D 2240 : Standard Test Method for  
Rubber Property\_ Durometer Hardness, In 2000 Annual Book of ASTM Standards, Vol.  
09.01, West Conshohocken, ASTM, pp 400-4003.

Goglia, V., Gospodaric, Z. , Filipovic, D. and Djukic, I. (2006). Influence on operator 's health  
of hand-transmitted vibrations from handles of a single-axle tractor. Ann. Agric.  
Environ. Med. 13 : 33-38.

ISO 2631/1. (1985). Guide for the evaluation of human expose to whole body vibration.  
International Organization for Standardization.

Japanese Standard Association, 1995, Physical Testing Method for Vulcanized Rubber, JIS K 6301-  
1995 .

Kanyakam, S. and Bureerat, S. (2007). Passive vibration suppression of a walking tractor  
handlebar structure using multiobjective PBIL. IEEE Conference Proceeding,  
Evolutionary Computer, 2007.

Sookkumnerd, C. (2000). Investigation into walking tractor vibration. Master of Engineering Thesis,  
Asian Institute of Technology, Bangkok. (unpublished).

[www.findtheneedle.co.uk](http://www.findtheneedle.co.uk)

[www.acu-vib.com.au](http://www.acu-vib.com.au)

[www.nyle.com](http://www.nyle.com)



ภาควิชานวัตกรรม

ภาควิชาจัดการธุรกิจ  
มหาวิทยาลัยเกษตรศาสตร์

ภาคผนวก ก  
ขีดจำกัดความเมื่อยล้า

ตาราง ก1

**Numerical value of “fatigues-decreased proficiency boundary”**

**For vibration acceleration in the transverse,  $a_x$  or  $a_y$  direction**

**(back-to-chest or side-to-side)**

Frequency (center frequency of one-third octave band) (Hz)	Acceleration, (rms) $\text{m/s}^2$								
	Exposure times								
	24 h	16 h	8 h	4 h	2.5 h	1 h	25 min	16 min	1 min
1.0	0.100	0.150	0.22	0.36	0.50	0.85	1.25	1.50	2.00
1.25	0.100	0.150	0.22	0.36	0.50	0.85	1.25	1.50	2.00
1.6	0.100	0.150	0.22	0.36	0.50	0.85	1.25	1.50	2.00
2.0	0.100	0.150	0.22	0.36	0.50	0.85	1.25	1.50	2.00
2.5	0.125	0.190	0.28	0.45	0.63	1.06	1.60	1.90	2.50
3.15	0.160	0.236	0.355	0.56	0.80	1.32	2.00	2.36	3.15
4.0	0.200	0.300	0.450	0.71	1.00	1.70	2.50	3.00	4.00
5.0	0.250	0.375	0.560	0.90	1.25	2.12	3.15	3.75	5.00
6.3	0.315	0.475	0.710	1.12	1.60	2.65	4.00	4.75	6.30
8.0	0.400	0.600	0.900	1.40	2.00	3.35	5.00	6.00	8.00
10.0	0.500	0.750	1.12	1.80	2.50	4.25	6.30	7.50	10.00
12.5	0.630	0.950	1.40	2.24	3.15	5.30	8.00	9.50	12.50
16.0	0.800	1.180	1.80	2.80	4.00	6.70	10.00	11.80	16.00
20.0	1.000	1.500	2.24	3.55	5.00	8.50	12.50	15.00	20.00
25.0	1.250	1.900	2.80	4.50	6.30	10.60	16.00	19.00	25.00
31.5	1.600	2.360	3.55	5.60	8.00	13.20	20.00	23.60	31.50
40.0	2.000	3.000	4.50	7.10	10.00	17.00	25.00	30.00	40.00
50.0	2.500	3.750	5.60	9.00	12.50	21.20	31.50	37.50	50.00
63.0	3.150	4.750	7.10	11.20	16.00	26.50	40.00	45.70	63.00
80.0	4.000	6.000	9.00	14.00	20.00	33.50	50.00	60.00	80.00

## ຕາມວິທີ 02

## Numerical value of “fatigues-decreased proficiency boundary”

For vibration acceleration in the longitudinal,  $a_z$  (foot-to-head direction)

Frequency (center frequency of one-third octave band) (Hz)	Acceleration, (rms) $\text{m/s}^2$								
	Exposure times								
	24 h	16 h	8 h	4 h	2.5 h	1 h	25 min	16 min	1 min
1.0	0.280	0.425	0.63	1.06	1.40	2.36	3.55	4.25	5.60
1.25	0.250	0.375	0.56	0.95	1.26	2.12	3.15	3.75	5.00
1.6	0.224	0.335	0.50	0.85	1.12	1.90	2.80	3.35	4.50
2.0	0.200	0.300	0.45	0.75	1.00	1.70	2.50	3.00	4.00
2.5	0.180	0.265	0.40	0.67	0.90	1.50	2.24	2.65	3.55
3.15	0.160	0.235	0.355	0.60	0.80	1.32	2.00	2.35	3.15
4.0	0.140	0.212	0.315	0.53	0.71	1.18	1.80	2.12	2.80
5.0	0.140	0.212	0.315	0.53	0.71	1.18	1.80	2.12	2.80
6.3	0.140	0.212	0.315	1.53	0.71	1.18	1.80	2.12	2.80
8.0	0.140	0.212	0.315	1.53	0.71	1.18	1.80	2.12	2.80
10.0	0.180	0.265	0.40	0.67	0.90	1.50	2.24	2.65	3.55
12.5	0.224	0.335	0.50	0.85	1.12	1.90	2.80	3.35	4.50
16.0	0.280	0.425	0.63	1.06	1.40	2.36	3.55	4.25	5.60
20.0	0.355	0.530	0.80	1.32	1.80	3.00	4.50	5.30	7.10
25.0	0.450	0.670	1.00	1.70	2.24	3.75	5.60	6.70	9.00
31.5	0.560	0.850	1.25	2.12	2.80	4.75	7.10	8.50	11.20
40.0	0.710	1.060	1.60	2.65	3.55	6.00	9.00	10.60	14.00
50.0	0.900	1.320	2.00	3.35	4.50	7.50	11.20	13.20	18.00
63.0	1.120	1.700	2.50	4.25	5.60	9.50	14.00	17.00	22.40
80.0	1.400	2.120	3.15	5.30	7.10	11.80	18.00	21.20	28.00

**ภาคผนวก ข**  
**ค่าความแข็ง**

**ตาราง ข1 แสดงคุณสมบัติของเครื่องวัดความแข็งชนิด เอ**

ชนิด	การใช้/วัสดุ	มาตรฐาน	แรงสปริง นิวตัน(กรัม) ความแข็ง 0-100	ขนาดของหัวกด (มม) ขนาด/ความสูง
A	สำหรับยางทั่วไป/ วัสดุที่มีความ ยืดหยุ่น	ASTM D 2240 JIS K 6253	0.550 – 8.050 N (56.1-821.1 gf)	ทรงรูปกรวยปลายตัดเส้น ผ่านศูนย์กลาง 0.79 มม,ทำ นูน 35 องศา/2.50+0.04
A	สำหรับยางทั่วไป/ วัสดุที่มีความ ยืดหยุ่น	JIS K 6301	0.539 – 8.379 N (55-855 gf)	ทรงรูปกรวยปลายตัดเส้น ผ่านศูนย์กลาง 0.79 มม,ทำ นูน 35 องศา/2.50+0.04

**ตาราง ข2 เปรียบเทียบค่าของแรงที่ค่าความแข็งเดียวกันระหว่างมาตรฐาน ASTM D2240 , JIS K 6253**

กับ JIS K 6301

ค่าความแข็ง ( 0 – 100 )	มาตรฐาน ASTM D 2240 , JIS K 6253 แรง(นิวตัน)	มาตรฐาน JIS K 6301 แรง(นิวตัน)
0	0.550	0.539
10	1.300	1.323
20	2.050	2.107
30	2.800	2.945
40	3.550	3.675
50	4.300	4.459
60	5.050	5.243
70	5.800	6.027
80	6.550	6.811
90	7.300	7.595
100	8.050	8.379

ตาราง ข3 เปรียบเทียบค่าความแข็งระหว่าง ASTM D 2240 , JIS K 6253 และ มาตรฐาน JIS K 6301  
ที่แรงสปริงเดียวกัน

มาตรฐาน ที่ใช้ในปัจจุบัน ASTM D 2240 , JIS K 6253 (ค่าความแข็ง)	มาตรฐาน JIS K 6301 (ค่าความแข็ง)
10	9.8
20	19.5
30	28.5
40	38.6
50	48.2
60	57.8
70	67.4
80	76.9
90	86.5
100	96.1

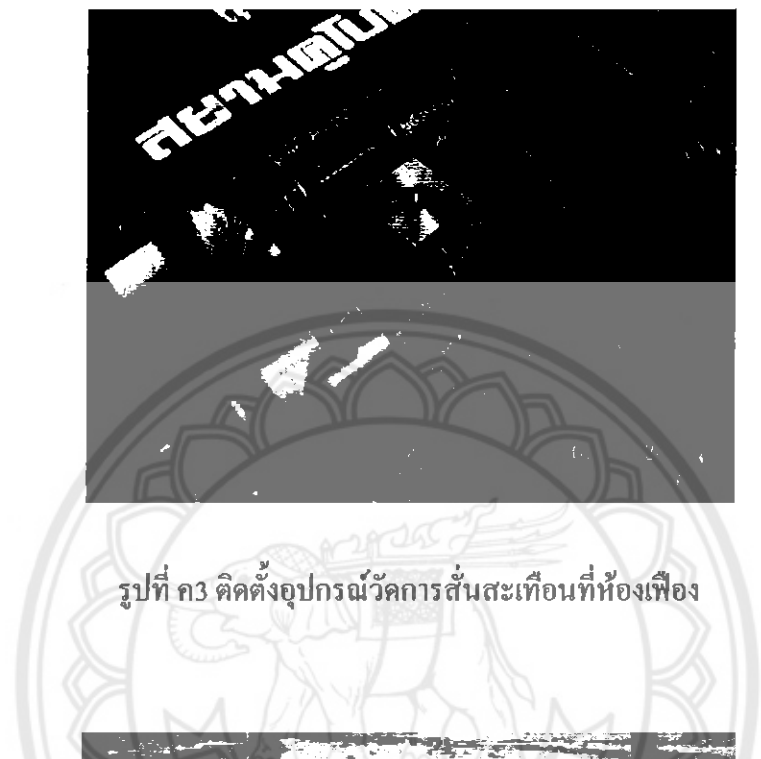
ภาคผนวก ก  
การทำการทดสอบ



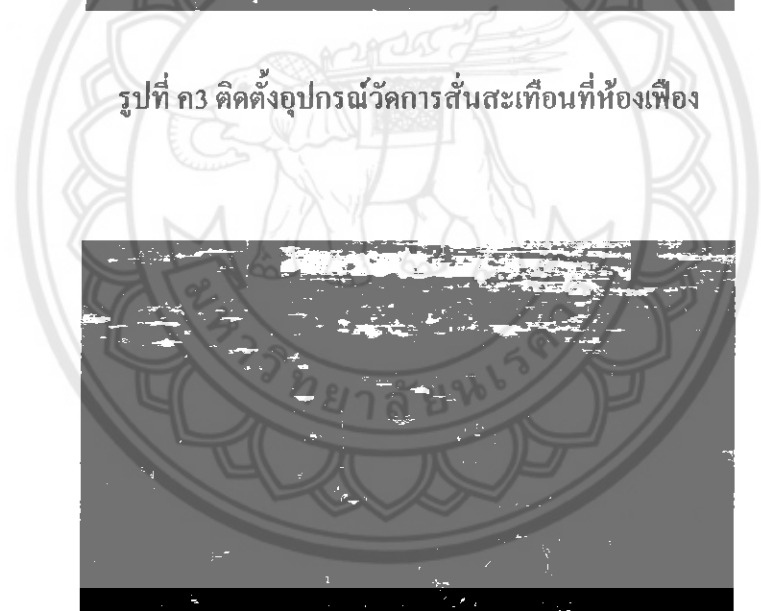
รูปที่ ก1 วัดความเร็วตอบของเครื่องบนต์



รูปที่ ก2 ติดตั้งอุปกรณ์วัดการสั่นสะเทือนที่หน้าเครื่องยนต์



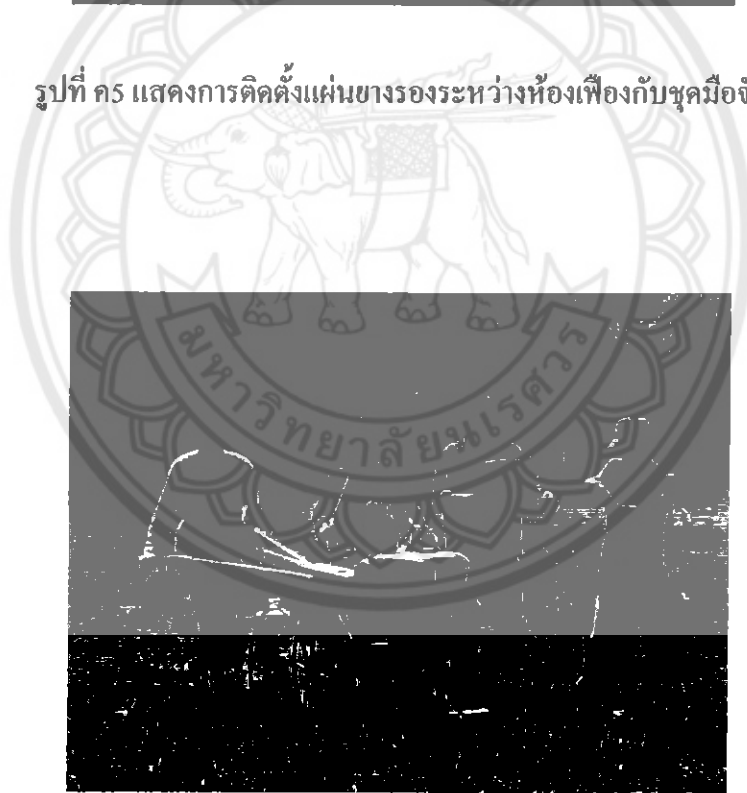
รูปที่ ก3 ติดตั้งอุปกรณ์วัดการสั่นสะเทือนที่ห้องเพิง



รูปที่ ก4 ติดตั้งอุปกรณ์วัดการสั่นสะเทือนที่มือจับ



รูปที่ ค5 แสดงการติดตั้งแผ่นบางรองระหว่างห้องเพื่องกับชุดมือจับ



รูปที่ ค6 วัดการสั่นสะเทือนบนบรรทัดไกด์ตามเคลื่อนที่